

# **Spis treści**

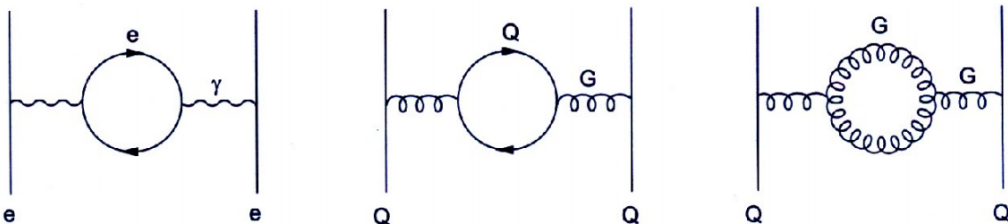
<b>1</b>	<b>Fizyka dżetów cząstek</b>	<b>2</b>
1.1	Chromodynamika kwantowa . . . . .	2
1.2	Plazma kwarkowo-gluonowa . . . . .	3
1.3	Dżety . . . . .	4
1.4	Dżety $b$ . . . . .	4
1.5	Eksperyment ALICE . . . . .	5
<b>2</b>	<b>Uczenie maszynowe</b>	<b>9</b>
2.1	Wzmacniane drzewa decyzyjne . . . . .	9
2.2	Sieci neuronowe . . . . .	10
2.3	Dyskusja użycia dwóch algorytmów . . . . .	15
<b>3</b>	<b>Dane</b>	<b>16</b>
<b>4</b>	<b>Analiza</b>	<b>19</b>
4.1	Dobór metryki . . . . .	19
4.2	Wyniki dla poszczególnych modeli . . . . .	22
4.3	Korelacje predykcji modeli . . . . .	27
4.4	Analiza istotności zmiennych w $BDT$ . . . . .	28
4.5	Analiza wpływu zmiennych na predykcje modeli . . . . .	31
<b>19</b>	<b>Dodatki</b>	<b>39</b>
<b>20</b>	<b>Dodatek A Metryki</b>	<b>39</b>
<b>21</b>	<b>Dodatek B Skróty i oznaczenia</b>	<b>40</b>

## 22 1 Fizyka dżetów cząstek

### 23 1.1 Chromodynamika kwantowa

24 Chromodynamika kwantowa (ang. *Quantum Chromodynamics – QCD*) to kwantowa teoria  
25 pola opisująca oddziaływanie silne [1]. Wprowadza ona dla kwarków nową liczbę kwantową  
26 nazywaną kolorem lub ładunkiem kolorowym, który jest odpowiednikiem ładunku elektrycznego  
27 w elektrodynamice kwantowej (ang. *Quantum Electrodynamics – QED*), ale w przeciwnieństwie  
28 do niego może przyjmować 3 różne wartości (i trzy antywartości dla antykwarków). Elementarne  
29 oddziaływanie w obu teoriach przenoszone są przez bezmasowe bozony pośredniczące: w *QED*  
30 jest to elektrycznie obojętny foton a w *QCD* gluony, które występują w 8 odmianach i są  
31 kolorowo naładowane, przez co możliwe jest oddziaływanie zachodzące między dwoma gluonami.  
32 Kwarki i gluony zbiorczo nazywane są partonami.

33 Próżnia, w rozumieniu klasycznym będąca zupełnie pusta, w teoriach kwantowych wypeł-  
34 niona jest pojawiającymi i znikającymi wirtualnymi cząstками. Cząstki te ekranują ładunek  
35 próbny umieszczony w kwantowej próżni, wywołując zjawisko polaryzacji próżni (analogiczne  
36 do polaryzacji dielektryków), które efektywnie zmniejsza pole wytwarzane przez ten ładunek.  
37 Siła tego efektu zależy od liczby ekranujących cząstek, czyli pośrednio od skali odległości. Skala  
38 ta wyznaczona jest przez długości fali próbującej cząstki, zatem także jej energię (im więk-  
39 sza energia, tym mniejsza długość fali i mniejsza ilość ekranujących cząstek obserwowanych  
40 w pobliżu rzeczywistego ładunku, zatem tym słabszy efekt ekranowania i większy efektywny  
41 ładunek). Prowadzi to do zależnej od energii stałej sprzężenia  $\alpha$ , którą nazywamy efektywną  
42 lub biegącą stałą sprzężenia (ang. *running coupling constant*).



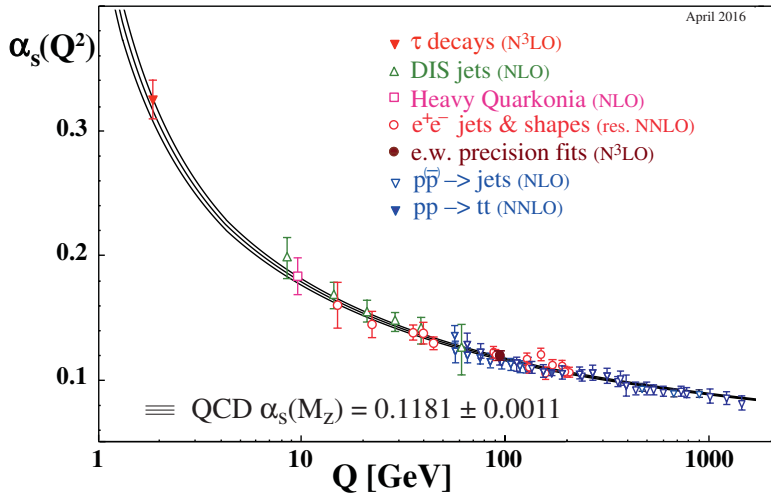
Rysunek 1: Diagramy Feynmana opisujące polaryzację próżni w *QED* (lewy) i *QCD* (środkowy i prawy). Rysunki lewy i środkowy są swoimi odpowiednikami w tych dwóch teoriach, natomiast prawy, w którym oddziałują jedynie bozony pośredniczące nie ma swojego odpowiednika w *QED*. Źródło: [1]

43 Zarówno pary elektron-pozyton jak i kwark-antykwark działają ekranującą kolejno ładunek elektryczny i kolorowy. Jednak jak zostało to już wspomniane, w przypadku *QCD* możliwe  
44 jest także samooddziałanie gluonów, przez co dopuszczalne są diagramy Feynmana jak ten  
45 przedstawiony na Rys. 1 po prawej. Pętle gluonowe działają anty-ekranującą – zwiększą efek-  
46 tywną wartość silnej stałej sprzężenia, ponadto jest to efekt dominujący nad przyczynkiem od  
47 par kwark-antykwark, co sprawia że zależność biegącej stałej sprzężenia w *QCD* jest odwrotna  
48 i dużo silniejsza niż w przypadku *QED*. Wartość  $\alpha_{em}$  maleje od wartości  $\frac{1}{128}$  przy energiach ok.  
49 90 GeV do  $\frac{1}{137}$  przy energii bliskiej zeru, co oznacza zmianę o kilka procent. Tymczasem  $\alpha_S$   
50 rośnie w miarę zbliżania się do niskich energii od wartości  $\alpha_S \lesssim 0.1$  dla  $E \gtrsim 100$  GeV do  $\alpha_S > 1$   
51 dla energii poniżej 200 MeV (Rys. 2). Prowadzi to do dwóch zjawisk charakterystycznych dla  
52 chromodynamiki kwantowej:

- 53
- 54 • asymptotyczna swoboda (ang. *asymptotic freedom*) [2], [3] – dla wysokich energii ( $\gtrsim 100$  GeV) silna stała sprzężenia jest mała (w tym zakresie energii możliwe jest stosowanie

56 rachunku perturbacyjnego) i kwarki wewnątrz hadronów zachowują się jak cząstki quasi-  
 57 swobodne.

- 58 • uwiecznienie koloru (ang. *colour confinement*) – przy zwiększaniu odległości między par-  
 59 tonami siła oddziaływanego rośnie do nieskończoności, dlatego nigdy nie obserwuje się  
 60 swobodnych cząstek obdarzonych ładunkiem kolorowym a jedynie związane w kolorowo  
 61 obojętne hadrony.



Rysunek 2: Zależność silnej stałej sprzężenia od przekazu czteropędu. Źródło: [4].

## 62 1.2 Plazma kwarkowo-gluonowa

63 Odkrycie asymptotycznej swobody pozwoliło na sprawdzenie przewidywań *QCD* w warun-  
 64 kach bardzo wysokich temperatur oraz gęstości. Dla wystarczająco dużych gęstości hadrony  
 65 zaczynają na siebie zatoczyć, prowadząc do stworzenia stanu, w którym poszczególne hadrony  
 66 przestają być odróżnialne [5]. Zasugerowane zostało także istnienie przejścia fazowego w tem-  
 67 peraturze porównywalnej z masą pionów oraz w temperaturze niższej, ale przy odpowiednio  
 68 dużych gęstościach [6]. Stan materii powstały po osiągnięciu, któregoś z tych warunków nazy-  
 69 wany jest plazmą kwarkowo-gluonową (ang. *quark-gluon plasma – QGP*). Obecnie przewiduje  
 70 się, że materia w takim stanie istniała w pierwszych ułamkach sekund po Wielkim Wybuchu  
 71 [7] oraz, że może się znajdować w jądrach gwiazd neutronowych [8].

72 Obecnie aby uzyskać dostęp do materii w stanie plazmy kwarkowo-gluonowej potrzebne są  
 73 wysokoenergetyczne zderzenia cząstek. Powszechnie mówi się o niej w kontekście zderzeń cięż-  
 74 kich jonów, chociaż istnieją także prace doszukujące się obecności *QGP* w mniejszych systemach  
 75 np. w zderzeniach proton-proton [9], [10].

76 Cechą charakterystyczną *QGP* jest obecność wolnych kwarków i gluonów. Ze względu na  
 77 uwiecznienie koloru w każdym innym stanie materii są one zawsze związane i tworzą hadrony.  
 78 Wolne kwarki i gluony powstające w zderzeniach muszą zatem przejść przez proces hadroni-  
 79 zacji, w którym rekombinują one ze spontanicznie wytworzonymi nowymi partonami, tworząc  
 80 hadrony. W wyniku tego procesu, z każdego partonu obecnego w początkowym etapie zderzenia  
 81 może powstać wiele cząstek poruszających się podobnym kierunkiem, tworząc stożek z wierzchoł-  
 82 kiem blisko punktu interakcji wiązek. Taki stożek skolimowanych cząstek nazywany jest dżetem  
 83 cząstek.

## 84 1.3 Dżety

85 Przedstawiona powyżej definicja dżetu nie jest precyzyjna z punktu widzenia pracy ekspery-  
86 mentalnej. W detektorze obserwuje się tylko cząstki w stanie końcowym, nie jest zatem możliwe  
87 przyporządkowanie cząstki do dżetu według jej pochodzenia. W związku z tym, konieczne jest  
88 użycie algorytmu klasteryzującego, dostającego na wejściu tylko obserwowalne eksperymenta-  
89 talnie cząstki. To jakie dżety zostaną zaobserwowane w danym zdarzeniu zależy od użytego  
90 algorytmu. Oznacza to, że precyzyjną definicję dżetu stanowi algorytm klasteryzujący wraz z  
91 zestawem parametrów. Obecnie najpowszechniej stosowanym algorytmem jest algorytm *anti-kt*  
92 [11].

93 Eksperimentalne ograniczenia związane z obserwacją tylko końcowego stanu oddziaływań  
94 nie występują w analizie danych z symulacji Monte Carlo (MC), gdzie ma się dostęp do peł-  
95 nej informacji na temat historii każdej cząstki. Nie należy jednak używać jej do klasteryzacji  
96 dżetów, gdyż utracona zostałaby cecha odpowiedniości między obiektymi nazywanymi dżetami  
97 w symulacji i w eksperymencie, która to cecha jest niewątpliwie jedną z podstawowych wyma-  
98 gań stawianych przed dobrą symulacją. Właściwym podejściem jest rekonstrukcja dżetów przy  
99 pomocy takiego samego algorytmu jak w przypadku danych eksperimentalnych.

100 Dżety wykorzystuje się w badaniach plazmy kwarkowo-gluonowej. Dają one pośredni wgląd  
101 we właściwości *QGP* na podstawie wpływu jaki wywiera na oddziałyujące z nią partony. Przy-  
102 kładową obserwablą mierzoną w zderzeniach ciężkich jonów jest czynnik modyfikacji jądrowej  
103  $R_{AA}$  (ang. *nuclear modification factor*), który jest miarą strat energii przez parton przecho-  
104 dzający przez medium. Jest to stosunek pędowych rozkładów dżetów cząstek zmierzonych w  
105 zderzeniach ciężkich jąder oraz w zderzeniach pp (przemnożonych przez liczbę binarnych zde-  
106 rzeń nukleon-nukleon przewidywanych przez model teoretyczny). Odchylenia od wartości 1 dla  
107 wysokich  $p_T$  są oznaką modyfikacji pędów dżetów przez gęste medium (w stosunku do zderzeń  
108 pp gdzie *QGP* nie powstaje), jest to tzw. tłumienie dżetów (ang. *jet quenching*). Rezultaty  
109 pomiarów  $R_{AA}$  dostępne są w [12] (CMS) i [13] (ALICE).

110 Oprócz globalnego wpływu medium na dżety, analizuje się także różnice między dżetami  
111 pochodząymi z gluonów oraz kwarków o różnych zapachach (ang. *flavours*). Modele teore-  
112 tyczne przewidują między innymi większe straty energii w wyniku interakcji z *QGP* dla dżetów  
113 gluonowych niż kwarkowych [14] oraz zależność strat energii od masy partonu [15] – w tym  
114 przypadku precyzyjne pomiary rozróżniające typy dżetów pozwalają lepiej zrozumieć mecha-  
115 nizm odpowiadający za straty energii przez partony. Zagadnienie rozpoznania z jakiego rodzaju  
116 partonu powstał dany dżet, nazywane jest identyfikacją lub tagowaniem dżetu. Ważną rolę  
117 w studiowaniu tego problemu odgrywają symulacje MC, które pozwalają określić wydajności  
118 poszczególnych technik tagowania dżetów na podstawie znajomości kanału produkcji każdej  
119 symulowanej cząstki.

## 120 1.4 Dżety *b*

### 121 1.4.1 Właściwości

122 Poza badaniami właściwości *QGP*, szczególne znaczenie ma identyfikacja dżetów pochodzących  
123 z ciężkich kwarków: *b* i *c*. Są one ważnym elementem w poszukiwaniu łamania symetrii *CP* w  
124 rozpadach hadronów B i D oraz innych sygnatur tzw. *Nowej Fizyki* wykraczającej poza ramy  
125 Modelu Standardowego. Kwarki *piękne* pojawiają się także często w kanałach rozpadu cząstek  
126 takich jak bozon Higgsa i kwark *t*.

127 Identyfikacja dżetów *b* jest sporym wyzwaniem ze względu na zdecydowanie częściej wy-  
128 stępujące dżety lekkie, tj. powstałe z hadronizacji kwarków *u,d,s* lub gluonów. Rozpoznawanie  
129 dżetów *b* bazuje na charakterystycznych właściwościach hadronów zawierających kwark piękny:

130 relatywnie długim czasie życia oraz (w mniejszym stopniu) na ich półleptonowych rozpadach o  
131 względnej częstości rozpadu w tym kanale (ang. *branching ratio*) na poziomie 10% [4].

#### 132 1.4.2 Przegląd algorytmów używanych do identyfikacji dżetów $b$ na LHC

133 Używane w eksperymentach na LHC: ATLAS, CMS i ALICE algorytmy można podzielić na  
134 trzy kategorie: wykorzystujące wtórne wierzchołki, informację o odległości najbliższego zbliżenia  
135 (parametrze zderzenia) cząstek tworzących dżet (ang. *Distance of Closest Approach – DCA*,  
136 *Impact Parameter – IP*) oraz identyfikujące produkty półleptonowych rozpadów pięknych lub  
137 powabnych hadronów. Dokładne opisy omawianych algorytmów można znaleźć w: [16], [17]  
138 (ATLAS), [18], [19] (CMS), [20], [21] (ALICE).

139 Najprostszym algorytmem jest dyskryminacja na podstawie istotności statystycznej (wynik  
140 pomiaru podzielony przez jego niepewność) odległości wtórnego wierzchołka od wierzchołka  
141 pierwotnego  $L$ . Jest to metoda wykorzystywana w każdym z trzech wymienionych ekspery-  
142 mentów (por. ATLAS: algorytm SV0, CMS: algorytm SSV, ALICE). Może być ona rozsze-  
143 rzona poprzez użycie dodatkowych zmiennych opisujących wtórny wierzchołek jak na przy-  
144 kład jego masy, ułamek niesionej przez niego całkowitej energii dżetu (por. ATLAS: SV1) lub  
145 użycie "pseudowierzchołków" (kombinacji dwóch cząstek o dużych  $DCA$ ) w celu poprawienia  
146 wydajności detekcji o przypadki, w których wtórny wierzchołek nie został zrekonstruowany  
147 (por. CMS: CSV).

148 Algorytmy wykorzystujące informację o poszczególnych cząstках mogą zasadniczo bazować  
149 albo na sumie logarytmów prawdopodobieństw pochodzenia każdej cząstki z pierwotnego wierz-  
150 chołka (por. ATLAS: IP3D, CMS: JP) lub tym samym prawdopodobieństwie ale dla wybranej,  
151 np. drugiej lub trzeciej cząstki na liście posortowanej według malejącego  $IP$  (por. ALICE i  
152 CMS: TC). Bardziej złożonym podejściem, w którym cząstki nie są traktowane jako niezależne,  
153 jest użycie rekurencyjnych sieci neuronowych (por. ATLAS: RNNIP).

154 Do wykorzystania półleptonowego kanału rozpadu ciężkich hadronów do identyfikacji dżetów  
155  $b$  w eksperymentach ATLAS (SMT) i CMS (SE, SM) użyto wzmacnianych drzew decyzyjnych  
156 trenowanych na kilku ręcznie zdefiniowanych w tym celu zmiennych takich jak pęd leptonu  
157 transwersalny względem osi dżetu.

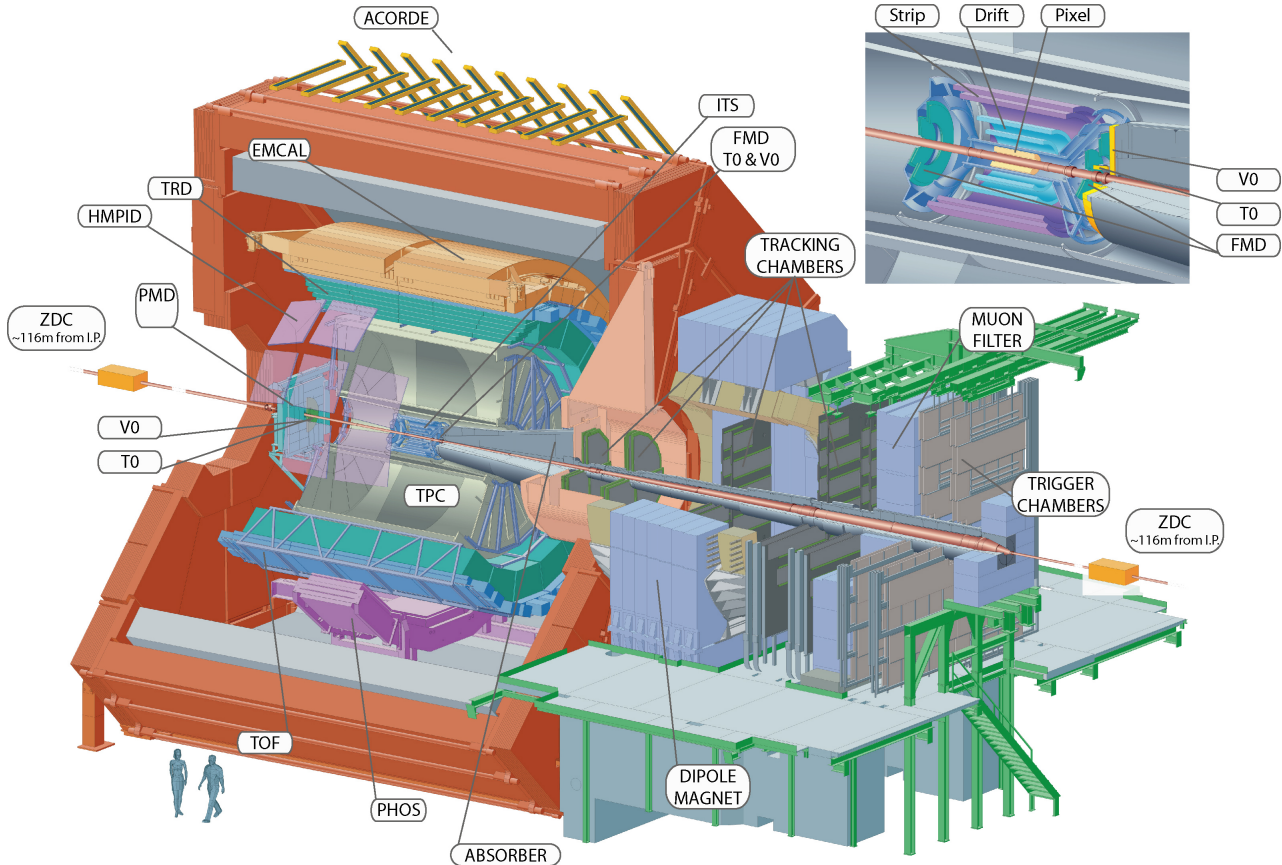
158 Znaczącą poprawę zdolności predykcyjnej można uzyskać łącząc kilka różnych modeli. Al-  
159 gorytm łączący może pobierać na wejściu albo tylko predykcje klasyfikatorów niższego poziomu  
160 (CMS: cMVAv2) lub dodatkowo także ich zmienne wejściowe (ATLAS: MV2, DL1). Do scalania  
161 używane są zwykle wzmacniane drzewa decyzyjne lub sieci neuronowe.

162 Przykład innego podejścia zaprezentowała współpraca przy eksperymencie LHCb, gdzie  
163 wykorzystano dwa zestawy wzmacnianych drzew decyzyjnych operujących na zmiennych zwią-  
164 zanych z wtórnymi wierzchołkami. Pierwszy zapewnia separację dżetów lekkich od ciężkich a  
165 drugi odróżnia dżety  $b$  od  $c$ . Do wyboru punktu pracy, zamiast jednowymiarowego rozkładu  
166 predykcji używany jest dwuwymiarowy rozkład wag przypisany przez oba klasyfikatory [22].

### 167 1.5 Eksperiment ALICE

168 Eksperiment ALICE [23], [24] jest jednym z czterech największych eksperymentów na LHC.  
169 Jest on dedykowany zderzeniom ciężkich jonów (w LHC są to jony ołowiu PbPb), ale mierzone są  
170 także mniejsze systemy, tj. proton-proton pp (głównie jako referencję dla pomiarów PbPb) oraz  
171 proton-ołów p+Pb, które dostarczają także okazji do badania asymetrycznych zderzeń. Cechą  
172 charakterystyczną pomiarów ciężkojonowych jest ich znacznie większa niż w przypadku zderzeń  
173 pp krotność, tj. liczba cząstek wyprodukowana w pojedynczym zderzeniu. W przypadku zderzeń  
174 PbPb może powstawać nawet do 8000 naładowanych cząstek na jednostkę pseudopospieszności

175  $\eta$  (ang. *pseudorapidity*)<sup>1</sup>. Detektor ALICE został zoptymalizowany do mierzeniach takich  
 176 przypadków, jak również pod kątem rekonstrukcji i identyfikacji cząstek o szerokim zakresie  
 177 pędów ( $100 \text{ MeV}/c - 100 \text{ GeV}/c$ ).



Rysunek 3: Schemat detektora ALICE. Źródło: [25]

178 Detektor ALICE jest urządzeniem złożonym z wielu subdetektorów, schematycznie przed-  
 179stawionych na Rys. 3. Można je podzielić według pełnionej w pomiarach roli. ITS, TPC, TRD  
 180 oraz TOF pokrywają pełen kąt azymutalny oraz zakres pseudopospieszności  $|\eta| < 0.9$ .

- 181 • Detektory śladowe – mierzące trajektorie cząstek zakrzywiane w polu magnetycznym o  
 182 wartości  $B = 0.5 \text{ T}$ .
  - 183 – Inner Tracking System (ITS) – zespół krzemowych detektorów śladowych znajdujący  
 184 się najbliżej miejsca interakcji wiązek. Składa się on z 6 cylindrycznych warstw o  
 185 promieniach od 4 cm do 43 cm, wykonanych w trzech różnych technologiach. Jego  
 186 główną rolą jest rekonstrukcja pierwotnego oraz wtórnego wierzchołków. Bierze także  
 187 udział w rekonstrukcji trajektorii i strat energetycznych cząstek, szczególnie tych  
 188 niskopędowych, które nie docierają do dalej położonych detektorów.
  - 189 – Time Projection Chamber (TPC) – dłuża na 5 m i o takiej średnicy komora projekcji  
 190 czasowej. Jest to główny detektor śladowy ALICE, wraz z ITS służy do wyznaczania  
 191 trajektorii cząstek i na ich podstawie również wierzchołków zderzenia. Elektryny  
 192 uwolnione ze zjonizowanego przez poruszające się w nim naładowane cząstki gazu  
 193 dryfują wzdłuż kierunku wiązki w stronę końcowych elektrod. Następnie są tam  
 194 zbierane dostarczając informacji o dwóch współrzędnych toru cząstki: odległości od

<sup>1</sup> $\eta = -\ln[\tan(\frac{\theta}{2})]$ , gdzie  $\theta$  jest kątem między wektorem pędu cząstki a osią wiązki

wiązki i kącie azymutalnym. Trzecia składowa trajektorii jest otrzymywana na podstawie czasu dotarcia elektronów do elektrod. TPC jest najwolniejszym detektorem ALICE (ze względu na ograniczający czas dryfu elektronów wynoszący  $\sim 90 \mu\text{s}$ ), użycie detektora tego typu podyktowane jest jego zdolnością do mierzenia śladów tysięcy cząstek spodziewanych w centralnych zderzeniach PbPb.

Znajomość toru ruchu cząstki pozwala na wyznaczenie jej pędu. Oprócz dokładnej trajektorii każdej cząstki próbkiowej do 159 razy, TPC mierzy straty energii cząstek  $dE/dx$ . Pozwala to na ich identyfikację na podstawie wzoru Bethego-Blocha, najwyższą zdolność rozdzielczą TPC osiąga dla cząstek o  $p_T < 1 \text{ GeV}$ .

• detektory służące identyfikacji cząstek (ang. *particle identification – PID*)

- Transition Radiation Detector (TRD) – detektor wykrywający promieniowanie przejścia, służy głównie do odróżniania wysokopędowych ( $p_T > 1 \text{ GeV}$ ) elektronów od pionów. Promieniowanie przejścia emitowane jest podczas przechodzenia relatywistycznych cząstek przez granicę ośrodków, jego intensywność jest proporcjonalna do czynnika Lorentza  $\gamma$ , co pozwala na odróżnienie cząstek o tym samym pędzie na podstawie różnicy mas (elektrony są ponad 250 razy lżejsze od pionów). TRD oprócz identyfikacji elektronów uczestniczy także w rekonstrukcji śladów wysokopędowych cząstek i może być użyty w systemie wyzwalania.
- Time-Of-Flight (TOF) – detektor czasu przelotu o zdolności rozdzielczej  $\sim 80 \text{ ps}$ . Pozwala na separację pionów i kaonów o pędach do ok.  $2.5 \text{ GeV}$  i protonów do  $4 \text{ GeV}$ .
- High-Momentum Particle Identification Detector (HMPID) – detektor typu RICH (ang. *ring-imaging Cherenkov*), wykrywający fotony emitowane podczas przejścia przez ośrodek naładowanej cząstki o prędkości większej od prędkości fazowej światła w tym ośrodku (promieniowanie Cherenkowa). Na podstawie kąta pod jakim emitowane są fotoniki określana jest prędkość cząstki. HMPID pozwala na identyfikację pionów, kaonów i protonów o  $p_T > 1 \text{ GeV}$ . Pokrywa przestrzeń kątów:  $1.2^\circ < \phi < 58.8^\circ$  oraz  $|\eta| < 0.6$  (5% akceptancji TPC).

• kalorymetry

- Photon Spectrometer (PHOS) – elektromagnetyczny kalorymetr o wysokiej rozdzielczości energetycznej i przestrzennej (podzielony na kryształy o rozmiarze poprzecznym  $2.2 \times 2.2 \text{ cm}$ , co odpowiada przestrzeni fazowej  $\Delta\eta \times \Delta\phi = 0.004 \times 0.004$ ). PHOS pokrywa zakres pseudopospieszności  $|\eta| < 0.12$  i kąta azymutalnego równy  $100^\circ$ . PHOS ma za zadanie identyfikację i pomiar czteropędów fotonów, w szczególności tych niepochodzących z rozpadu innych cząstek (ang. *direct photons*) oraz lekkich mezonów neutralnych (np.  $\pi^0$ ) przez dwufotonowy kanał rozpadu.
- Electromagnetic Calorimeter (EMCal) – drugi elektromagnetyczny kalorymetr ALICE o mniejszej ziarnistości ( $\Delta\eta \times \Delta\phi = 0.014 \times 0.014$ ), ale dużo większej akceptancji ( $|\eta| < 0.7$ ,  $\Delta\phi = 107^\circ$ ). EMCal poprawia możliwości ALICE w zakresie pomiarów tłumienia dżetów, pozwalając na wyznaczanie neutralnej składowej energii dżetów (energií niesionej przez neutralne cząstki). Dzięki innej charakterystyce dla elektronów i hadronów (elektrony typowo deponują niemal całą energię a hadrony tylko niewielką część) pozwala je odróżnić na podstawie stosunku zmierzonych w nim energii do wyznaczonego wcześniej pędu  $E/p$ . EMCal może być użyty także w szybkim systemie wyzwalania, do selekcji przypadków z dżetami oraz wysokoenergetycznymi fotonami i elektronami.

- 240 • Muon spectrometer – spektrometr mionowy, złożony z dwóch pasywnych absorberów,  
241 znajdujących się między nimi 10 warstw detektora śladowego oraz komór systemu wy-  
242 zwalającego na końcu. Przedni absorber, gruby na 4 metry ( $\sim 60X_0$ ) wykonany z betonu  
243 i grafitu, zatrzymuje hadrony oraz miony o niższych energiach (np. z rozpadów pionów  
244 i kaonów). Jest on zoptymalizowany aby minimalizować rozpraszanie mionów i zapewnić  
245 ochronę pozostałych detektorów ALICE przed wtórnymi cząstkkami powstałymi w jego  
246 materiale. Komory śladowe mają zdolność rozdzielczą ok.  $100 \mu\text{m}$ , co pozwala osiągnąć  
247 wysoką rozdzielcość przy wyznaczaniu masy niezmienniczej rzędu  $100 \text{ MeV}/c^2$ . Spek-  
248 trometr mionowy służy głównie do mierzenia mezonów wektorowych ( $\omega$ ,  $\phi$ ,  $J/\Psi$ ,  $\Upsilon$ )  
249 rozpadających się w kanale  $\mu^+ \mu^-$ .
- 250 • Detektory przednie, wyznaczające min. centralność zderzeń oraz płaszczyznę reakcji.
- 251     – ZDC – zespół czterech kalorymetrów (po dwa do pomiaru protonów i neutronów)  
252         pokrywających inną przestrzeń fazową ponieważ tory protonów są odchylane przez  
253         pole magnetyczne, mierzących energię nukleonów nieuczestniczących w zderzeniu  
254         tzw. obserwatorów, co pozwala na określenie liczby nukleonów oddziałujących, tzw.  
255         uczestników. Znajdują się one 116 m od miejsca interakcji.
- 256     – PMD – detektor gazowy mierzący krotkości oraz rozkład przestrzenny fotonów
- 257     – FMD – krzemowy detektor paskowy mierzący precyzyjnie liczbę naładowanych cza-  
258         stek w zakresie pseudopospieszności wykraczającym poza akceptancję detektora ITS.
- 259     – V0 – liczniki scyntylacyjne położone po obu stronach detektora, używane w sys-  
260         temie wyzwalania o minimalnym obciążeniu (ang. *minimum bias trigger*) – wymóg  
261         obecności sygnału w obu detektorach pozwala na odrzucenie przypadków tła z od-  
262         ziaływania wiązki protonów z reszkami gazu obecnymi w rurach próżniowych.
- 263     – T0 – zespół dwóch liczników Cherenkova, który dostarcza dokładny czas interak-  
264         cji potrzebny dla detektora TOF, pozwala także na śledzenie świetlności w czasie  
265         rzeczywistym.

## 2 Uczenie maszynowe

Uczenie maszynowe jest bardzo szerokim i obecnie dynamicznie się rozwijającym obszarem nauki. Występuje w wielu odmianach łącząc w sobie w zależności od wariantu wiele dziedzin takich jak matematyka (statystyka, algebra) informatyka (algorytmika, teoria informacji) a także elementy robotyki i sterowania. Dziedzinami, w których jest najczęściej wykorzystywane są min. widzenie maszynowe, przetwarzanie języka naturalnego, autonomiczne roboty i pojazdy, systemy decyzyjno - eksperckie, optymalizacyjne oraz rekomendacyjne.

W tej pracy wykorzystywana jest gałąź uczenia maszynowego nazywana uczeniem nadzorowanym lub "uczeniem z nauczycielem" (ang. *supervised learning*), gdzie uczenie występuje na podstawie poprawnie oznaczonych przykładów. Terminami bliskoznacznymi dla tak rozumianego uczenia maszynowego są uczenie statystyczne (ang. *statistical learning*) i rozpoznawanie wzorców (ang. *pattern recognition*).

Problem identyfikacji dżetów jest klasycznym przykładem zagadnienia klasyfikacji, gdzie poprawna odpowiedź jest jedną ze skończonej ilości opcji (klas) w przeciwieństwie do regresji, gdzie szukana odpowiedź algorytmu ma charakter ciągły.

Występuje wiele algorytmów uczenia maszynowego takich jak regresja liniowa i logistyczna, drzewa decyzyjne i ich wariacje, maszyny wektorów wspierających, sztuczne sieci neuronowe oraz wiele innych [26], [27]. Uczenie polega na znalezieniu pewnej funkcji dopasowującej do przyjmowanego na wejściu zestawu (wektora) cech (zmiennych, kolumn) pewną odpowiedź (predykcję), która minimalizuje zadaną funkcję straty. Jej rolę w przypadku regresji często pełni błąd średniokwadratowy a w przypadku klasyfikacji np. entropia krzyżowa (ang. *cross entropy*)<sup>2</sup>. Różne algorytmy szukają przy tym funkcji dopasowującej należącej do różnych klas funkcji: przykładowo klasyczne drzewa decyzyjne przeszukują tylko przestrzeń funkcji dających się opisać skończonym zbiorem reguł "jeśli – to" (ang. *if – else*).

W pracy wykorzystane zostały dwa rodzaje algorytmów: wzmacniane drzewa decyzyjne oraz sieci neuronowe.

### 2.1 Wzmacniane drzewa decyzyjne

Wzmacniane drzewa decyzyjne są jednym z rozwinięć klasycznego algorytmu drzewa decyzyjnego. Pojedyncze drzewo decyzyjne dzieli przestrzeń cech uczących przy pomocy prostopadłych cięć, na mniejsze/większe niż zadana wartość w przypadku zmiennej ciągłej lub na należące/nie należące do danej klasy w przypadku zmiennej kategorycznej. Każdy podział, nazywany węzłem, daje dwie gałęzie, które można dalej niezależnie dzielić aż do ostatniego poziomu (liści). Kolejne podziały wybierane są tak, aby zbiory przykładów wpadające do poszczególnych gałęzi były jak najbardziej jednorodne. Stosuje się różne miary nieporządku takie tak: indeks Gini  $G_L$  lub entropia  $S_L$ <sup>3</sup>.

Drzewa decyzyjne są często łączone w komitety klasyfikatorów (ang. *ensemble methods*). Wiele "słabych" klasyfikatorów jest łączonych w jeden silny dwa sposoby: workowanie (ang. *bagging*) [28] oraz wzmacnianie (ang. *boosting*) [29], które są często ze sobą porównywane.

*Bagging* – w zastosowaniu dla drzew decyzyjnych nazywany algorytmem lasów losowych (ang. *random forest*) - polega na wytrenowaniu wielu drzew, każdego na podstawie  $N$  przykładów losowo wylosowanych z powtórzeniami spośród  $N$ -licznego zbioru treningowego. Dodat-

<sup>2</sup>  $J = -\frac{1}{N} \sum_{i=1}^N [y_i \log \hat{y}_i + (1 - y_i) \log(1 - \hat{y}_i)]$ , gdzie  $y_i$  to prawidłowa klasa  $i$ -tego przykładu a  $\hat{y}_i$  to predykcja algorytmu

<sup>3</sup>  $G_L = 1 - \sum_k p_k^2$  oraz  $S_L = \sum_k -p_k \log p_k$ , gdzie  $p_k$  to stosunek liczby przypadków klasy  $k$  do liczby wszystkich przypadków w liściu  $L$

307 kowo, do uczenia każdego drzewa używa się tylko podzbioru wszystkich cech uczących. Końcową  
308 predykcję algorytmu otrzymuje się poprzez "głosowanie" wszystkich drzew z odpowiednimi wa-  
309 gami.

310 *Boosting* – wzmacniane drzewa decyzyjne (ang. *boosted decision trees*) – jest metodą po-  
311 dobną do *baggingu*. Główną różnicą jest zwiększanie wag przykładom uczącym, które przez po-  
312 przednie drzewo zostały źle zaklasyfikowane – każde kolejne drzewo koncentruje się bardziej na  
313 poprawie błędów poprzednich drzew. Widać tu kolejną ważną cechę odróżniającą obie metody:  
314 *boosting* jest algorytmem sekwencyjnym podczas gdy *bagging* daje się trywialnie zrównoleglić  
315 (każde drzewo trenowane jest w osobnym wątku).

### 316 **Parametry i sposób trenowania drzew decyzyjnych na analizowanych danych**

317 W niniejszej pracy wykorzystano wzmacniane drzewa decyzyjne zaimplementowane w wydaj-  
318 nej bibliotece **XGBoost** [30]. Szybkość obliczeń jest bardzo ważna, gdyż oprócz komfortu pracy  
319 z algorytmem, przekłada się na jakość otrzymanych wyników – krótszy czas obliczeń oznacza  
320 możliwość przeprowadzenia większej ilości eksperymentów i lepsze dobranie parametrów oraz  
321 danych. Implementacja wzmacnianych drzew decyzyjnych w **XGBoost** wykorzystuje wszystkie  
322 rdzenie procesora, pomimo że sam algorytm ma charakter sekwencyjny – jest to możliwe dzięki  
323 paralelizacji procesu tworzenia każdego drzewa (przed każdym podziałem konieczne jest spraw-  
324 dzenie pewnej ilości możliwych zmiennych i wartości progowych i ten proces jest wykonywany  
325 równolegle).

326 Dzięki szybkiemu uczeniu się algorytmu, możliwe było użycie kosztownego obliczeniowo au-  
327 tomatycznego przeszukiwania przestrzeni parametrów przy pomocy przeszukiwania losowego  
328 (ang. *random search*), które jest zwykle preferowane nad przeszukiwanie sieciowe [31]. W tym  
329 celu cały zbiór danych dzielony był na dwie części: trenującą oraz testową (80/20%). Następ-  
330 nie algorytm był trenowany i oceniany z użyciem trzy- lub pięciokrotnej walidacji krzyżowej  
331 (ang. *cross-validation*) na zbiorze trenującym dla różnych zestawów parametrów. Model z naj-  
332 lepszym wynikiem uzyskanym w walidacji krzyżowej był sprawdzany na zbiorze testowym.

333 Parametry optymalizowane w opisanym procesie to:

- 334 • *max\_depth* – maksymalna głębokość każdego drzewa (niekoniecznie osiągana)
- 335 • *n\_estimators* – liczba drzew
- 336 • *learning\_rate* – parametr szybkości uczenia, komplementarny do *n\_estimators*, w praktyce  
337 można ustalić liczbę drzew i szukać optymalnej szybkości uczenia
- 338 • *subsample*, *colsample\_bytree*, *colsample\_bylevel* – parametry regularyzacyjne określające  
339 ułamek kolejno: wierszy użytych do trenowania każdego drzewa, kolumn użytych w ka-  
340 dym drzewie (cechy losowane raz dla danego drzewa), kolumn użytych przy każdym po-  
341 dziale (cechy losowane przy każdym podziale)
- 342 •  $\gamma$  – minimalny zysk w postaci zmniejszenia wartości funkcji straty konieczny do wykonania  
343 podziału

## 344 **2.2 Sieci neuronowe**

345 Sieci neuronowe (ang. *neural networks* – *NN*) są szczególnym algorytmem uczenia maszyno-  
346 wego. Występują w bardzo wielu odmianach i są wykorzystywane w rozwiązywaniu szerokiej  
347 gamy problemów. Nawet bardzo pobiczny opis sieci neuronowych wymaga dużo więcej miejsca  
348 niż może być temu poświęcone w tej pracy. Wprowadzenia do sieci neuronowych od podstaw  
349 można znaleźć m.in. w [32] lub [33]. Tu przedstawione zostaną wyłącznie wybrane zagadnienia

350 mające ścisłejšzy związek z pracą. Używane mogą być terminy, których znaczenie wyjaśniane  
351 jest w podanych źródłach.

352 W niniejszej pracy, wykorzystane zostały dwa rodzaje sieci neuronowych: sieci w pełni połącz-  
353 czone (ang. *fully connected NN – FC NN*), nazywane także wielowarstwowymi perceptronami  
354 (ang. *multi-layer perceptron – MLP*) oraz sieci konwolucyjne (ang. *convolutional NN – Co-*  
355 *nvNets, CNN*).

### 356 Sieci w pełni połączone

357 W nierekurencyjnych sieciach neuronowych (tylko takie są używane w tej pracy), informacja jest  
358 przekazywana kolejno od warstw wejściowych, poprzez warstwy ukryte aż do wyjściowej. W sie-  
359 ciach typu *FC* wszystkie warstwy składają się z identycznych neuronów – każdy neuron dostaje  
360 na wejściu wektor, natomiast zwraca skalar – wartość pewnej zadanej, nielinowej funkcji, jako  
361 argument podając średnią ważoną z elementów wektora wejściowego. Wartości zwracane przez  
362 neurony w danej warstwie składają się na wektor wejściowy dla neuronów kolejnej warstwy.  
363 Wejściem dla pierwszej warstwy są natomiast kolejne przykłady ze zbioru uczącego. Trenowa-  
364 nie sieci neuronowych polega na zmienianiu wag (parametrów) w liczonej w każdym neuronie  
365 średniej, każdy neuron posiada własny, niezależny zestaw wag.

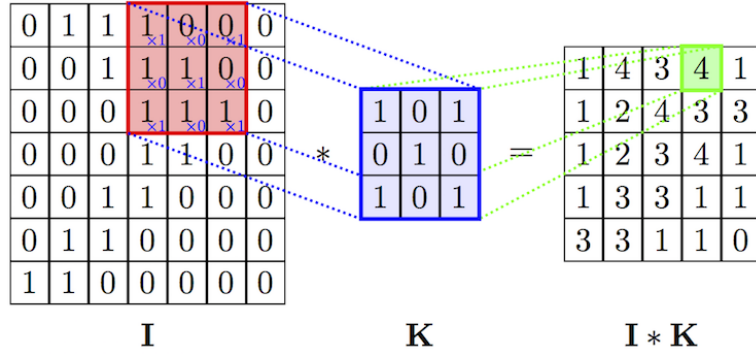
366 Istnieje twierdzenie o sieciach neuronowych jako uniwersalnych aproksymatorach funkcji  
367 (ang. *universal approximation theorem*) [34], mówiące, że już sieć neuronowa o jednej warstwie  
368 ukrytej jest zdolna do przybliżenia dowolnej funkcji z dowolną dokładnością. Twierdzenie to  
369 nie podaje niestety liczby potrzebnych neuronów a przede wszystkim – sposobu ich trenowania.  
370 Trenowanie jest prostsze w przypadku zastosowania wielu warstw, które odpowiadają kolejnym  
371 poziomu abstrakcji jednak nadal jest dużym wyzwaniem ze względu na fakt, że nawet stosun-  
372 kowo niewielka sieć może posiadać bardzo dużą liczbę parametrów, przykładowo sieć o czterech  
373 warstwach, w każdej po 128 neuronów ma ich ponad 65 tysięcy.

### 374 Sieci konwolucyjne

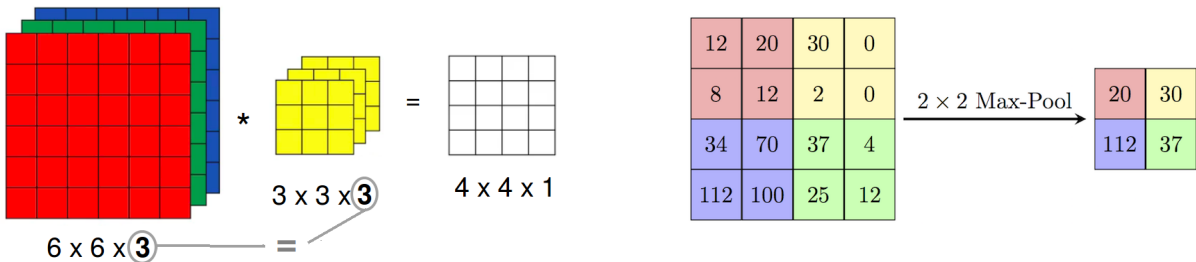
375 Jednym ze sposobów na ograniczenie liczby trenowanych parametrów jest użycie konwolucyj-  
376 nych sieci neuronowych [35] (bardziej poprawną choć rzadko używaną nazwą w języku polskim  
377 jest sieć splotowa). Są one inspirowane połączeniami w korze wzrokowej zwierząt i wywodzą  
378 się z badań w obszarze widzenia komputerowego, gdzie liczby parametrów są szczególnie duże  
379 (wektor wejściowy ma wymiar równy liczbie pikseli w obrazie), na takim przykładzie również  
380 najłatwiej zrozumieć ich działanie.

381 Sieci konwolucyjne różnią się od sieci typu *FC* tym, że część wag połączeń między warstwami  
382 jest dzielona. Występuje w nich nowy rodzaj warstwy, nazywany warstwą konwolucyjną. Każda  
383 jednostka w warstwie konwolucyjnej (filtr) ma pewną stałą (niewielką) liczbę wag. Połączenie z  
384 dużym wejściem realizowane jest przez powielanie tych samych wag w połączeniach z kolejnymi  
385 fragmentami wektora wejściowego (Rys. 4). Rezultatem działania filtra na macierz jest wynik  
386 operacji splotu. Liczba parametrów przypadająca na każdy filtr jest równa jego rozmiarowi i  
387 nie zależy od wielkości wektora wejściowego.

388 W przypadku gdy zamiast wejścia dwuwymiarowego (jak np. obraz czarno-biały), mamy do  
389 czynienia z wejściem trójwymiarowym (np. trzeci wymiar to kolejne kolory w kodowaniu RGB),  
390 filtry również muszą mieć trzy wymiary, przy czym rozmiar w ostatnim wymiarze musi być  
391 równy rozmiarowi w tym kierunku wektora wejściowego. Wynik operacji splotu jest ponownie  
392 dwuwymiarowy, gdyż filtr przesuwany jest tylko w dwóch pierwszych wymiarach. Trzeci wymiar  
393 powstaje przez składanie kolejnych filtrów. Widać zatem, że również w przypadku gdy na  
394 wejścia podawany jest obraz czarno-biały, filtry w kolejnych warstwach konwolucyjnych (oprócz  
395 pierwszej) mają po trzy wymiary.



Rysunek 4: Schemat działania pojedynczego filtra z warstwy konwolucyjnej (operacja splotu).  
Źródło: [36].



Rysunek 5: Działanie pojedynczego filtra (3D) na wejście o trzech wymiarach.  
Źródło: [37].

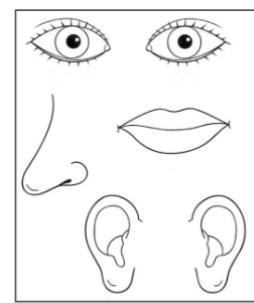
Rysunek 6: Działanie warstwy typu *max-pool*. Źródło: [36].

oprócz warstw konwolucyjnych, w sieciach tego typu stosowane są także tzw. warstwy typu *max-pooling*. Zasada jej działania jest bardzo prosta: wykonuje funkcję *maksimum* na zadanym fragmencie obrazu (Rys. 6). Ich rolą jest zmniejszanie rozmiaru przekazywanej w sieci informacji.

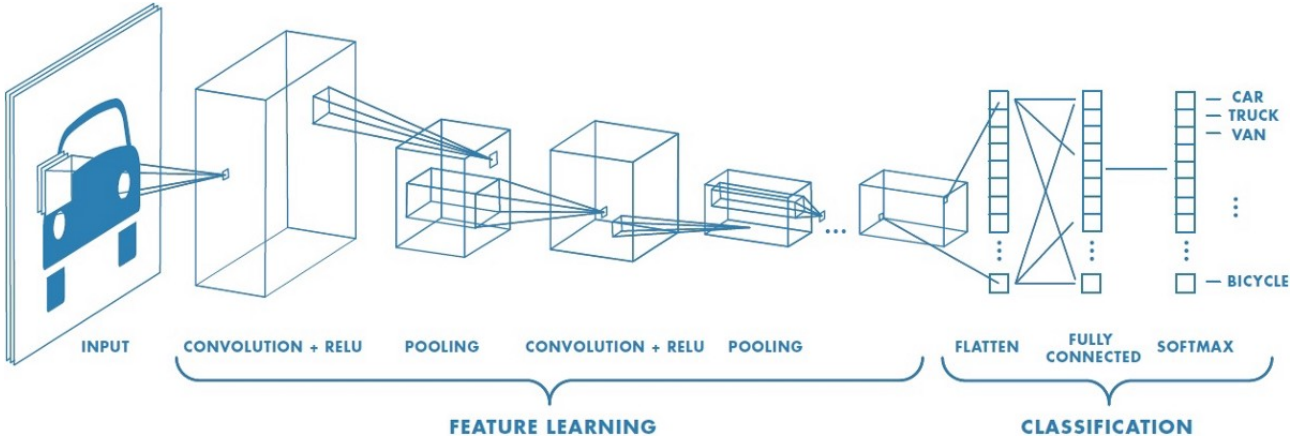
Typowa architektura stosowana w przypadku sieci konwolucyjnych jest następująca: najpierw warstwy konwolucyjne (pomiędzy nimi czasem warstwy typu *max-pool*), następnie wszystkie filtry są rozwijane i składane w długi jednowymiarowy wektor, który przekazywany jest do warstw typu *FC*. W przypadku problemu klasyfikacji, na końcu znajduje się jeszcze warstwa typu *softmax* normalizująca wyjście z sieci do jedynki (Rys. 8).

Sieci konwolucyjne posiadają dwie właściwości odróżniające je od *MLP*:

- niezmienniczość względem przesunięcia (ang. *translation invariance*) – głównie za sprawą dzielenia wag oraz obecności warstw typu *max-pool*, położenie danej cechy na obrazie jest niemal bez znaczenia (obraz po prawej stronie byłby rozpoznany jako twarz)
- lokalność połączeń – filtry obejmują tylko kilka sąsiednich pikseli (tam zwykle występują najsilniejsze zależności) nie są w stanie dostrzec cechy rozciągniętej na obszar większy od rozmiaru filtra



Rysunek 7: Źródło: [39].

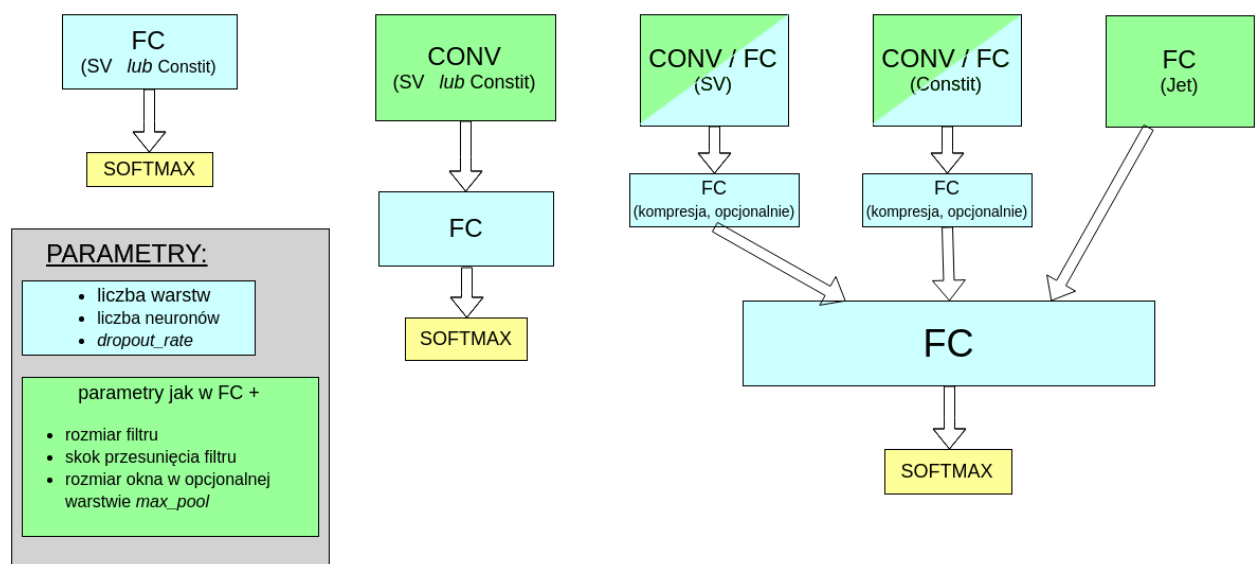


Rysunek 8: Typowa struktura stosowana w sieciach konwolucyjnych. Warstwy konwolucyjne mają za zadanie wydobywać cechy, na podstawie których późniejsze warstwy dokonują klasyfikacji. Widoczna jest charakterystyczna stopniowa zmiana rozmiaru przekazywanej macierzy: rozmiar poprzeczny maleje kosztem głębokości, co odpowiada rosnącej liczbie filtrów i malejącym rozmiarowi obszaru po jakim są one przesuwane. Źródło: [38].

#### 416 Hiperparametry i trenowanie sieci neuronowych na analizowanych danych

417 Parametry sieci, których wartości są określane przez projektanta sieci, takie jak liczba warstw  
418 ukrytych są nazywane hiperparametrami (dla odróżnienia od parametrów - wag połączeń).

419 Testowane były trzy architektury: sieci w pełni połączone, sieci konwolucyjne oraz sieć  
420 złożona z dwóch gałęzi, osobnych dla wtórnych wierzchołków i częstek tworzących dżet (Rozdz.  
421 3) przedstawione schematycznie na Rys. 9. Do trenowania sieci wykorzystano wysokopoziomową  
422 bibliotekę **Keras** [40] korzystającą z silnika obliczeniowego zaimplementowanego w **TensorFlow**  
423 [41].



Rysunek 9: Schematyczne przedstawienie trzech testowanych rodzin architektur sieci. Każdy blok odpowiada kilku warstwom danego typu. Bloki warstw typu *FC* i opisane jako ”kompre-  
sja składają się z kilku neuronów i miały za zadanie zredukować całą informację z danej gałęzi  
do wektora kilku liczb.

424 Zestaw hiperparametrów definiujący działanie sieci w pełni połączonej:

- 425 • liczba warstw ukrytych

- 426 • liczba neuronów w każdej warstwie

427 • funkcja aktywacji – nielinowa funkcja aplikowana przed zwróceniem wartości w każdym  
428 neuronie, najpopularniejsze to *tanh*, *ReLU* ( $f(x) = \max(0, x)$ ) oraz funkcja sigmoidalna  
429 ( $f(x) = \frac{1}{1+\exp(-x)}$ )

- 430 • algorytm optymalizacyjny – spadek gradientowy lub jego wariacje

- 431 • parametr szybkości uczenia i jego modyfikacje w trakcie uczenia

432 • liczba przykładów trenujących przetwarzanych w jednym kroku uczenia (ang. *batch\_size*)  
433 – im większy tym szybsze jest trenowanie sieci (dzięki wydajnym operacjom macierzo-  
434 wym), natomiast może się to odbywać kosztem precyzji

- 435 • liczba epok uczenia – ile razy będzie pokazywany sieci każdy przykład

436 • opcjonalnie: warunki stopu (ang. *early stopping*), czyli przerwanie procesu uczenia mające  
437 na celu uniknięcie przetrenowania sieci, w momencie gdy błąd popełniany na zbiorze  
438 walidacyjnym przestaje maleć

- 439 • opcjonalnie: regularyzacja przy pomocy różnych technik (zwykle konieczna)

440 Ponadto dla sieci konwolucyjnych:

- 441 • liczba warstw konwolucyjnych i liczba filtrów w każdej warstwie

- 442 • obecność lub brak warstw *max-pool* i rozmiar ich okna

- 443 • rozmiar filtrów i długość skoku przy ich przesuwaniu

444 Same dwie pierwsze wielkości dają nieograniczoną liczbę konfiguracji. Czas trenowania sieci  
445 neuronowych jest rzędu wielkości większej niż drzew decyzyjnych, dlatego przyjęto szereg kro-  
446 ków mających na celu zmniejszenie przeszukiwanej przestrzeni hiperparametrów. Na podstawie  
447 wstępnych testów oraz różnych wskazówek dostępnych w literaturze przyjęto:

- 448 • *batch\_size* zawsze równy 64 (inne testowane wartości: 16, 32, 128)

449 • za algorytm optymalizacyjny przyjęto algorytm o nazwie *Nadam* [42], tj. rozwinięcie al-  
450 gorytmu *Adam* [43] o parametr Nesterova (inne testowane to zwykły spadek gradientowy  
451 oraz *Adam*)

- 452 • funkcję aktywacji: *ReLU*

- 453 • liczba epok równa 50, 100 lub 200, zrezygnowano z *early stopping*

- 454 • stałe w trakcie treningu wartości parametru szybkości uczenia

455 • spośród technik regularyzacyjnych testowano wyłącznie *dropout* [44] z prawdopodobień-  
456 stwem odrzucenia równym 0.1, 0.2 lub 0.5

- 457 • kilka wybranych kombinacji dla zestawu parametrów: rozmiar filtra, długość skoku i roz-  
458 miar okna w warstwach *max-pool* – takie same w kolejnych warstwach

- 459     ● liczby neuronów/filtrów w warstwach będące zawsze potęgami dwójki oraz stałą liczbę w  
460        kolejnych warstwach lub zmieniającą się o stały czynnik, np. 256-128-64, 128-128-128 lub  
461        16-32-64
- 462     ● liczba warstw *FC*: 2-8, konwolucyjnych 2-6

463     Nawet po przyjęciu powyższych uproszczeń nie sposób sprawdzić wszystkich możliwych  
464        zestawów hiperparametrów, dlatego sposób ich dobierania w kolejnych testach był mocno em-  
465        piryczny. Dostępne dane dzielone były na trzy zbiory: trenujący, walidacyjny i testowy. Wobec  
466        braku warunków stopu, zbiór walidacyjny użyty był wyłącznie do porównywania różnych ze-  
467        stawów parametrów, tak aby wynik testowy pozostał nieobciążony.

468     Zgodnie z zasadą ortogonalizacji działań, proces doboru hiperparametrów dzielono na dwie  
469        części: najpierw starano się uzyskać jak najlepsze wyniki na zbiorze uczącym, a dopiero później  
470        zmusić algorytm do lepszej generalizacji na zbiorze testowym przez zwiększoną regularyzację i  
471        modyfikację parametru szybkości uczenia.

## 472     **2.3 Dyskusja użycia dwóch algorytmów**

473     Użycie więcej niż jednego algorytmu ma wiele zalet. Po pierwsze daje możliwość porównania  
474        wyników. Pozwala to na oszacowanie błędu *bayesowskiego* (najniższego możliwego do osiągnięcia  
475        przez jakikolwiek algorytm błędu). Jest to bardzo ważne w sytuacji, gdy nie dysponuje się innym  
476        oszacowaniem tego błędu (w wielu problemach naturalnych dla człowieka jak rozpoznawanie  
477        obiektów na obrazkach jest nim błąd ludzki lub też błąd popełniany przez zespół ekspertów w  
478        bardziej zaawansowanych zastosowaniach).

479     Po drugie, wykorzystane zostały dwa algorytmy mocno różniące się w swojej naturze, co  
480        pozwala wykorzystać cechy każdego z nich w analizie: przykładowo sieci neuronowe dobrze  
481        radzą sobie z nieustrukturyzowanymi danymi – potrafią tworzyć wysokopoziomowe cechy na  
482        podstawie niskopoziomowego wejścia (np. położenia oka na zdjęciu twarzy na podstawie pixeli).  
483     Są natomiast trudne w interpretacji i często traktowane są jako tzw. „czarne skrzynki” (ang. *black*  
484        *box*). Oprócz tego, liczba możliwych konfiguracji sieci jest ogromna i przez to niemożliwe jest  
485        stwierdzenie czy wykorzystane zostały pełne ich możliwości.

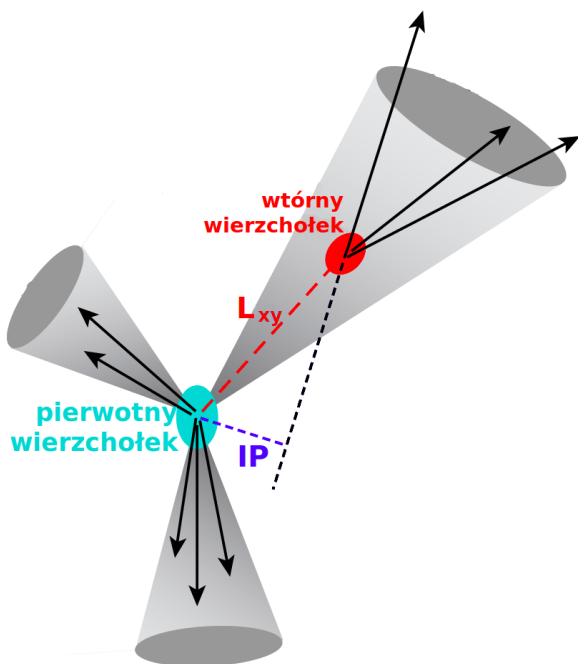
486     Z kolei drzewa decyzyjne posiadają stosunkowo niewielką liczbę parametrów, a ich trenowa-  
487        nie jest bardzo szybkie co pozwala na ich ekstensywne przeszukiwanie i otrzymanie wyników,  
488        które można uznać za optymalne dla tego algorytmu. Ponadto, w przypadku drzew istnieją  
489        niewymagające dodatkowych obliczeń miary użyteczności poszczególnych zmiennych, co daje  
490        wgłębne w działanie algorytmu i poprawia intuicyjne zrozumienie jego predykcji.

### 491 3 Dane

492 Dane użyte w analizie pochodzą z symulacji Monte Carlo zderzeń proton-proton przy energii w  
 493 układzie środka masy równej  $\sqrt{s} = 13$  TeV dostępnych na serwerach eksperymentu ALICE. Są  
 494 to pełne symulacje detektora ALICE, wykorzystujące generator zderzeń Pythia8 [45] (wersja:  
 495 Monash2013 [46]) oraz pakiet Geant3 [47] do transportu cząstek przez materiał detektora.  
 496 Korzystano ze specjalnych symulacji w tzw. *binach p<sub>T</sub>*, które zapewniają lepszą statystykę dla  
 497 wysokich pędów.

498 Do rekonstrukcji dżetów wykorzystany został algorytm *anti-kt* z parametrem  $R = 0.4$  zaim-  
 499 plementowany w pakiecie FASTJET [48]. Dżetów poszukiwano wyłącznie wśród cząstek nałado-  
 500 wanych (ang. *charged jets*) ze względu na słabe pokrycie przestrzeni fazowej przez kalorymetry  
 501 w eksperymencie ALICE.

502 Do analizy wybrano dżety o  $p_T$  większym niż 15 GeV i mieszczące się w całości w akcep-  
 503 tancji detektora TPC, tj.  $|\eta| < 0.9$ , co przy użytym parametrze rozmiaru dżetu  $R = 0.4$ , daje  
 504 ograniczenie na pseudopospiesznosć  $|\eta| < 0.5$  dla osi dżetu.



Rysunek 10: Rysunek ilustrujący znaczenie używanych wielkości:  $L_{xy}$  oraz parametru zderze-  
 nia  $IP$ . Źródło: [49].

505 Dla każdego dżetu obliczony został szereg wielkości, które można podzielić na zmienne cha-  
 506 rakteryzujące dżet oraz opisujące wtórne wierzchołki lub cząstki tworzące dżet. Za potencjalne  
 507 wtórne wierzchołki uznaje się wszystkie kombinacje trzech cząstek spełniających pewne dosyć  
 508 luźne kryteria jak  $p_T > 0.15$  GeV (rozważane są wyłącznie trzy-cząstkowe wtórne wierzchołki),  
 509 stąd ich liczba może być dużo większa od liczby cząstek tworzących dżet.

510 Lista używanych zmiennych:

- 511 • Zmienne charakteryzujące dżet:
  - 512 –  $\eta_{jet}, \phi_{jet}$  – pseudopospiesznosć i kąt azymutalny osi dżetu
  - 513 –  $p_{T,jet}$  – pęd poprzeczny dżetu

- 514     –  $M_{jet} = \sqrt{(\sum_i E_i)^2 - (\sum_i \vec{p}_i)^2}$  – masa dżetu, gdzie  $E_i$  i  $\vec{p}_i$  to energia i pęd kolejnych  
 515     częstek tworzących dżet
- 516     –  $A_{jet}$  – powierzchnia dżetu wyliczana przez algorytm *anti-kt* w płaszczyźnie  $(\eta, \phi)$ .  
 517       Do powierzchni dżetu zaliczany jest każdy element powierzchni, w którym dodanie  
 518       częstki o nieskończonym małym pędzie poprzecznym sprawi, że zostanie ona zaliczona  
 519       do tego dżetu [50]
- 520     –  $\rho_{bckg}$  – gęstość tła w danym zdarzeniu

521     • Zmienne opisujące cząstki tworzące dżet (składniki dżetu):

- 522       –  $\eta, \phi$  – pseudopospieszność i kąt azymutalny cząstki względem osi dżetu
- 523       –  $p_T$  – pęd poprzeczny cząstki
- 524       –  $IP_D$  – rzut na kierunek poprzeczny wektora parametru zderzenia
- 525       –  $IP_Z$  – rzut na oś  $z$  wektora parametru zderzenia
- 526       –  $N_{Constit}$  – liczba cząstek tworzących dżet

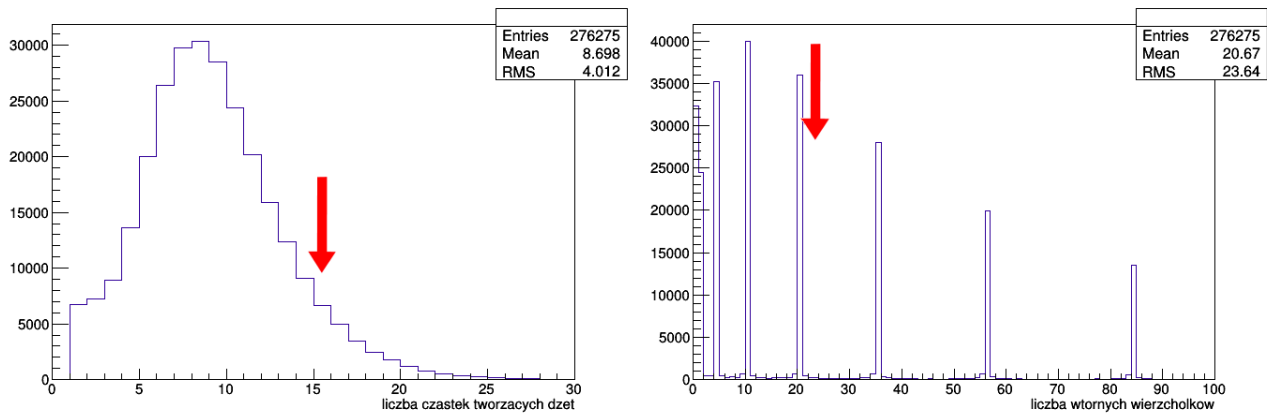
527     • Zmienne opisujące wtórne wierzchołki:

- 528       –  $L_{xy}$  – odległość między pierwotnym a wtórnym wierzchołkiem (ang. *decay length*)
- 529       –  $\sigma_{L_{xy}}$  – niepewność wyznaczenia  $L_{xy}$
- 530       –  $\sigma_{vertex} = \sqrt{d_1^2 + d_2^2 + d_3^2}$  – rozrzut śladów (ang. *tracks*) wokół wtórnego wierzchołka,  
 531       gdzie  $d_i$  to najmniejsza odległość pomiędzy śladem  $i$ -tej cząstki a wtórnym wierz-  
 532       chołkiem
- 533       –  $M_{inv} = \sqrt{(E_1 + E_2 + E_3)^2 - (\vec{p}_1 + \vec{p}_2 + \vec{p}_3)^2}$  – masa niezmiennicza wierzchołka, gdzie  
 534        $E_i, \vec{p}_i$  to energia i pęd  $i$ -tej cząstki tworzącej wierzchołek
- 535       –  $\chi^2/Ndf$  – jakość dopasowania wtórnego wierzchołka
- 536       –  $N_{SV}$  – liczba wtórych wierzchołków

537     Dżety różnią się liczbą cząstek je tworzących oraz liczbą wtórych wierzchołków. Większość  
 538     algorytmów uczenia maszynowego wymaga natomiast dostarczenia danych w postaci tabelar-  
 539     rycznej (macierzowej), ze stałą liczbą kolumn (wiersze stanowią kolejne dżety). Aby spełnić to  
 540     wymaganie konieczne jest przyjęcie pewnej ustalonej liczby wtórych wierzchołków oraz cząstek  
 541     tworzących dżet – w przypadku gdy dżet ma więcej elementów tego typu są one odrzucane, na-  
 542     tomiąst puste pola są wypełniane zerami w przypadku gdy ma ich mniej. Po przeanalizowaniu  
 543     rozkładów liczby wtórych wierzchołków i cząstek tworzących dżet (Rys. 11) oraz wstępny-  
 544     m sprawnie jak dodawanie kolejnych elementów wpływa na otrzymywane wyniki (na podsta-  
 545     wie wzmacnianych drzew decyzyjnych ze względu na wspomnianą w 2.3 szybkość i stabilność)  
 546     ustalono liczbę cząstek tworzących dżet równą 15 a wtórych wierzchołków równą 20.

547     Istotnym zagadnieniem jest także kolejność w jakiej ułożone będą zmienne. Dla sieci konwo-  
 548     lucyjnych szukających lokalnych zależności dobrze jest pogrupować zmienne, tak aby obok siebie  
 549     znajdowały się te same wielkości fizyczne, np.  $L_{xy,1}, L_{xy,2}, L_{xy,3} \dots \sigma_{vertex,1}, \sigma_{vertex,2}, \sigma_{vertex,3} \dots$   
 550     Dla sieci w pełni połączonych oraz drzew decyzyjnych kolejność zmiennych nie ma znaczenia,  
 551     ale ważne jest aby położenie zmiennych było ustalone dla kolejnych wierzchołków lub cząstek  
 552     tzn. żeby  $L_{xy}$  i  $\sigma_{L_{xy}}$  danego wtórnego wierzchołka były w tych samych miejscach, tak aby  
 553     możliwe było szukanie zależności między nimi.

554     Następną kwestią jest wybór wielkości decydującej o kolejności ułożenia elementów, tj. która  
 555     cząstka będzie cząstką nr 1 a która nr 5. Losowe ułożenie elementów sprawiłoby, że bezpośrednio



Rysunek 11: Rozkłady liczby cząstek tworzących dżet i liczby wtórnych wierzchołków (pokazana jest tylko część, rozkład sięga  $N_{SV} = 200$ ) wraz wartościami cięć.

556 porównywanie wielkości w danych kolumnach (co ma miejsce bezpośrednio w drzewach decy-  
 557 zyjnych a pośrednio w sieciach neuronowych) straciłoby sens. Z kolei dobry dobór tej kolejności  
 558 pozwala na łatwe odtworzenie przez algorytm uczenia maszynowego motywów fizycznie  
 559 algorytmów omówionych w sekcji 1.4.2. Przykładowo cięcie na wartość  $IP$  drugiej lub trzeciej  
 560 cząstki (gdy są one posortowane wg malejących wartości  $IP$ ) jest istotą algorytmu nazywanego  
 561 *Track Counting – TC* stosowanego w CMS i ALICE. Kolejność w jakiej ułożone będą elementy,  
 562 wpływa także na to, które z nich będą odrzucone w przypadku gdy dżet zawiera więcej niż 15  
 563 cząstek i 20 wierzchołków. Ponownie posiliłowano się testami z użyciem drzew decyzyjnych.  
 564 Ostatecznie wtórne wierzchołki ułożono według malejącego  $L_{xy}$  a cząstki – malejącego  $p_T$ .

## 565 4 Analiza

### 566 4.1 Dobór metryki

567 Bardzo ważnym elementem w trenowaniu algorytmów uczenia maszynowego jest dobór odpowiednich metryk. Kilka najczęściej używanych metryk wymieniono w Tab. A1. Klasycznym 568 złym przykładem jest używanie dokładności (ang. *accuracy*) do oceniania klasyfikacji binarnej 569 w przypadku dużego niezrównoważenia klas – algorytm przewidujący zawsze klasę większą 570 571 składową może osiągnąć dużą wartość dokładności będąc jednocześnie bardzo słabym modelem.

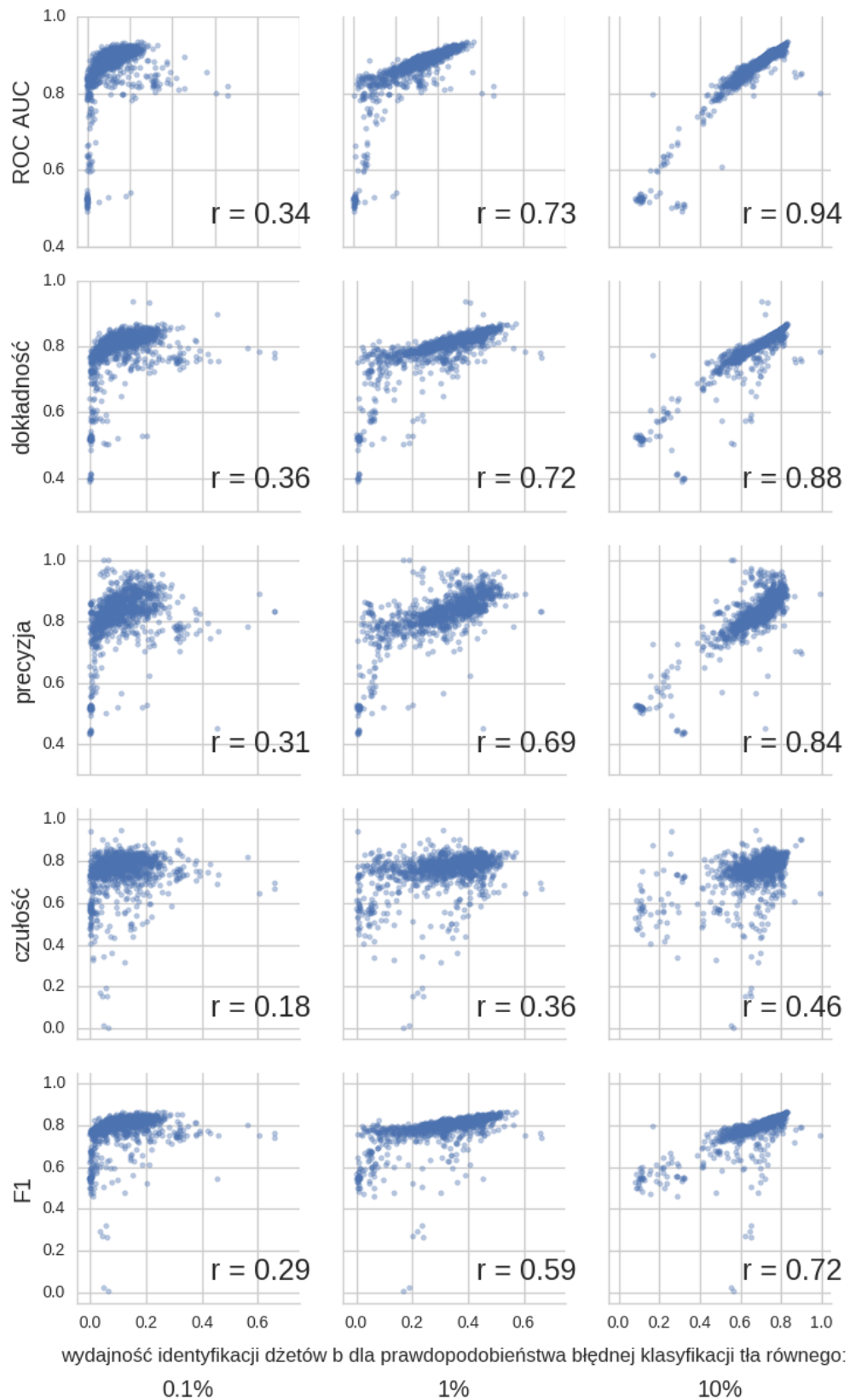
572 Używanie i porównywanie kilku miar efektywności jest często niepraktyczne dlatego dobrze 573 jest wybrać jedną metrykę. Przy jej wyborze należy kierować się potencjalnymi zastosowaniami 574 modelu. W tym przypadku są to analizy fizyczne, które mogą mieć różne wymagania dotyczące 575 czystości i liczebności otrzymywanych próbek, a co za tym idzie, preferować inne punkty 576 pracy zdefiniowane jako pary liczb: wydajność poprawnej klasyfikacji dżetów  $b$  (ang. *tagging* 577 *efficiency = true positive rate = recall*), i ułamek niepoprawnie zaklasyfikowanych przypadków 578 tła (ang. *mistagging rate = false positive rate*).

579 Naturalnym wyborem wydaje się pole pod powierzchnią krzywej *ROC* (ang. *ROC Area Under Curve – ROC AUC*) [51]. Potencjalną przeszkodą może być zakres rozsądnego wartości 580 prawdopodobieństwa błędnej klasyfikacji przypadków tła: dżety  $b$  stanowią tylko kilka procent 581 liczby wszystkich dżetów, zatem z punktu widzenia analizy dopuszczalne będą punkty pracy 582 zapewniające wydajność identyfikacji dżetów  $b$  ok. 10 – 100 razy większą niż częstość niepoprawnego 583 zaklasyfikowania przypadków tła. Oznacza to, że zdecydowana większość punktów 584 pracy znajdujących się na krzywej *ROC* jest nie do zaakceptowania – interesujące są tylko te 585 o najniższych częstościach błędnej klasyfikacji.

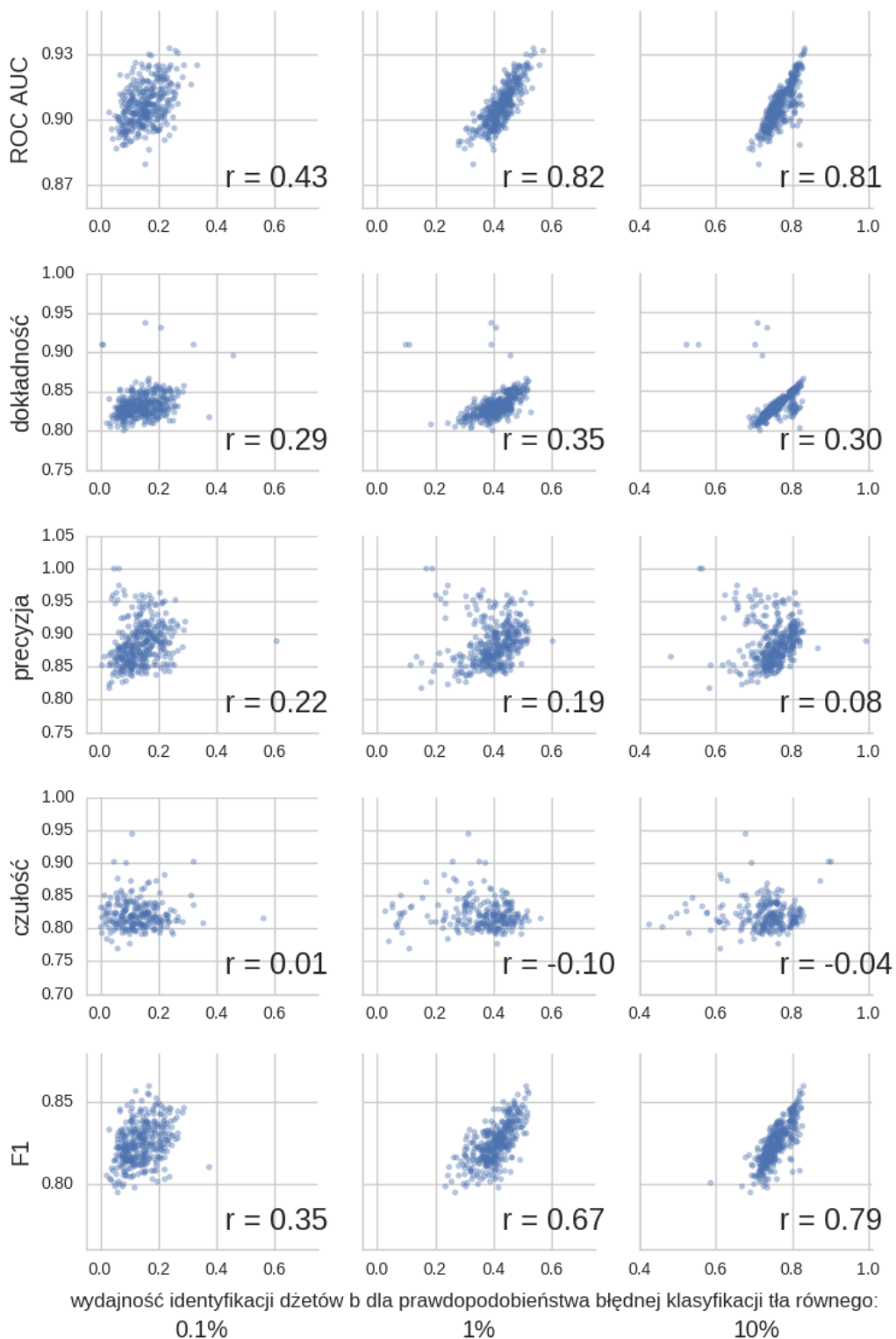
586 Aby ilościowo porównywać różne algorytmy wprowadzone zostaną trzy punkty pracy: o 587 prawdopodobieństwie błędnej klasyfikacji tła równej 0.1%, 1% oraz 10%. Na Rys. 12 przed- 588 stawione zostały zależności poszczególnych metryk od wydajności identyfikacji dżetów  $b$  w 589 tych trzech punktach pracy. Każdy punkt odpowiada jednemu eksperymentowi (dla dowolnego 590 algorytmu) przeprowadzonemu w trakcie przygotowywania analizy. Daje to pogląd, na to war- 591 tościami której metryki należy się kierować przy wyborze algorytmu i hiperparametrów, aby 592 zapewnić sobie jednocześnie wysokie wartości wydajności na identyfikację dżetów  $b$  w wybra- 593 nych punktach pracy. Najwyższe koreacje występują dla punktu pracy o najwyższym prawdo- 594 podobieństwie błędnej klasyfikacji tła – jak będzie to pokazane później wyniki dla tego punktu 595 pracy są najbardziej stabilne. Spośród analizowanych metryk najwyższe wartości współczyn- 596nika Pearsona otrzymano dla pola pod powierzchnią krzywej *ROC*, dosyć wysokie również dla 597 dokładności i precyzji. Widać, że wartości czułości są najsłabiej skorelowane z wydajnością iden- 598 tyfikacji dżetów  $b$ . Jest rzeczą zrozumiałą, że korelacja jest słabsza niż dla precyzji, ponieważ 599 wartości czułości maleją za każdym razem gdy błędnie klasyfikowane są dżety  $b$  stanowiące 600 sygnał, podczas gdy wartości precyzji maleją, gdy błędnie klasyfikowane są przypadki tła. Z 601 tych dwóch błędów, drugi jest bardziej kosztowny, gdyż błędna klasyfikacja nawet niewielkiej 602 części tła znacznie pogarsza czystość otrzymywanej próbki.

603 Na Rys. 13 przedstawiono te same wielkości co na Rys. 12, ale tym razem wybrano tylko 604 25% najwyższych (najlepszych) wartości dla każdej metryki – te punkty są bardziej znaczące, 605 gdyż ostatecznie modele z eksperymentów dających najlepsze wyniki będą używane. Dla takiej 606 selekcji otrzymano zdecydowaną dominację *ROC AUC* – wybór modeli dających najwyższe 607 pole pod powierzchnią krzywej *ROC* zapewnia jednocześnie otrzymanie wysokich wartości wy- 608 609 dajności identyfikacji dżetów  $b$  dla wybranych punktów pracy.

610 Pole pod powierzchnią krzywej *ROC* zostało wybrane jako główna metryka używana w 611 procesie dobierania parametrów modeli oraz przy prezentacji wyników.



Rysunek 12: Zależność podstawowych metryk od wydajności identyfikacji dżetów  $b$  dla punktów pracy o prawdopodobieństwie błędnej klasyfikacji tła równej 0.1%, 1% oraz 10%. Dla każdego wykresu przedstawiono współczynnik korelacji  $r$  Pearsona.



Rysunek 13: Rysunek podobny do Rys. 12, ale przedstawione zostały tylko punkty odpowiadające eksperymentom o wartościach metryki będących w górnym kwartylu wartości danej metryki dla wszystkich eksperymentów.

## 612 4.2 Wyniki dla poszczególnych modeli

613 W następnych podrozdziałach przedstawione zostały wyniki uzyskane dla poszczególnych mo-  
614 deli. Jako model rozumiana jest para: algorytm (wraz z jego hiperparametrami) oraz zestaw  
615 danych użyty do jego trenowania. Oznaczenia używane w prezentacji wyników zebrane zostały  
616 w Dodatku B.

617 Każdy przedstawiony wynik jest rezultatem uśrednienia pięciu powtórzeń procedury, na  
618 którą składa się: losowy podział zbioru danych na dane treningowe, walidacyjne i testowe oraz  
619 uczenie algorytmu (randomizacji podlega także inicjalizacja wag połączeń w przypadku sieci  
620 neuronowych).

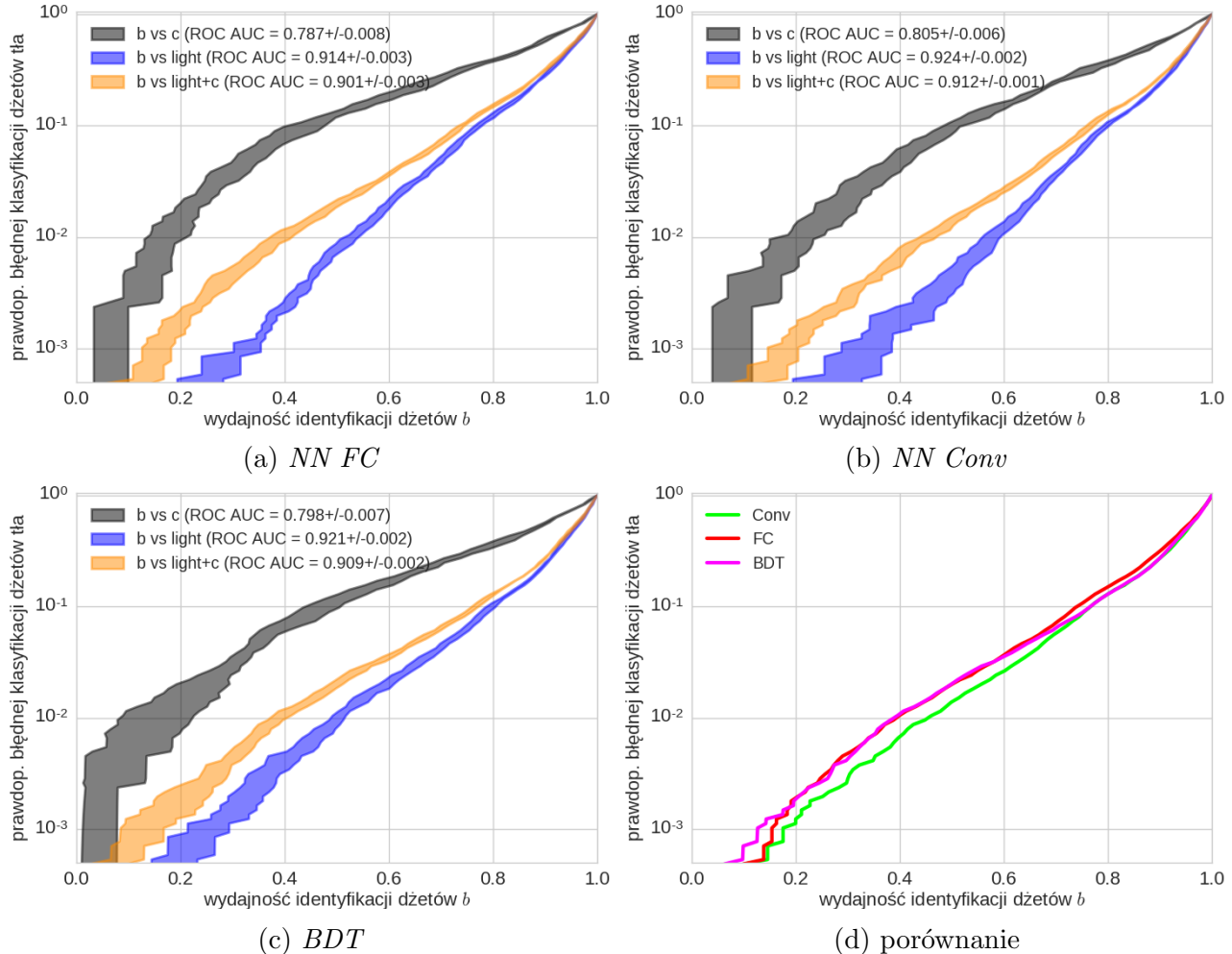
621 Na Rys. 14, 15, 16 przedstawiono odmianę krzywej *ROC* – wykresy przedstawiające zależ-  
622 ności wydajności identyfikacji dżetów  $b$  z niepewnościami (na osi poziomej) dla danego praw-  
623 dopodobieństwa błędnej klasyfikacji dżetów tła (na osi pionowej).

624 Trzy krzywe na każdym wykresie odpowiadają separacji dżetów  $b$  od dżetów: lekkich,  $c$   
625 oraz mieszanej próbki złożonej w 90% z dżetów lekkich i w 10% z dżetów powabnych. Cztery  
626 wykresy na każdym rysunku odpowiadają trzem użytym algorytmom: sieciom neuronowym  
627 typu *FC* (na górze po lewej), konwolucyjnym sieciom neuronowych (na górze po prawej) i  
628 wzmacnianym drzewom decyzyjnym (na dole po lewej) oraz porównaniu wszystkich trzech  
629 (na dole po prawej). Porównane zostały tylko krzywe odpowiadające separacji dżetów  $b$  od  
630 mieszanego tła (bez niepewności).

631 Jeśli nie zaznaczono inaczej, prezentowane wyniki dotyczą separacji dżetów  $b$  od mieszanego  
632 tła (90% dżetów lekkich + 10%  $c$ ).

#### 633 4.2.1 Wyniki dla zmiennych związanych z wtórnymi wierzchołkami

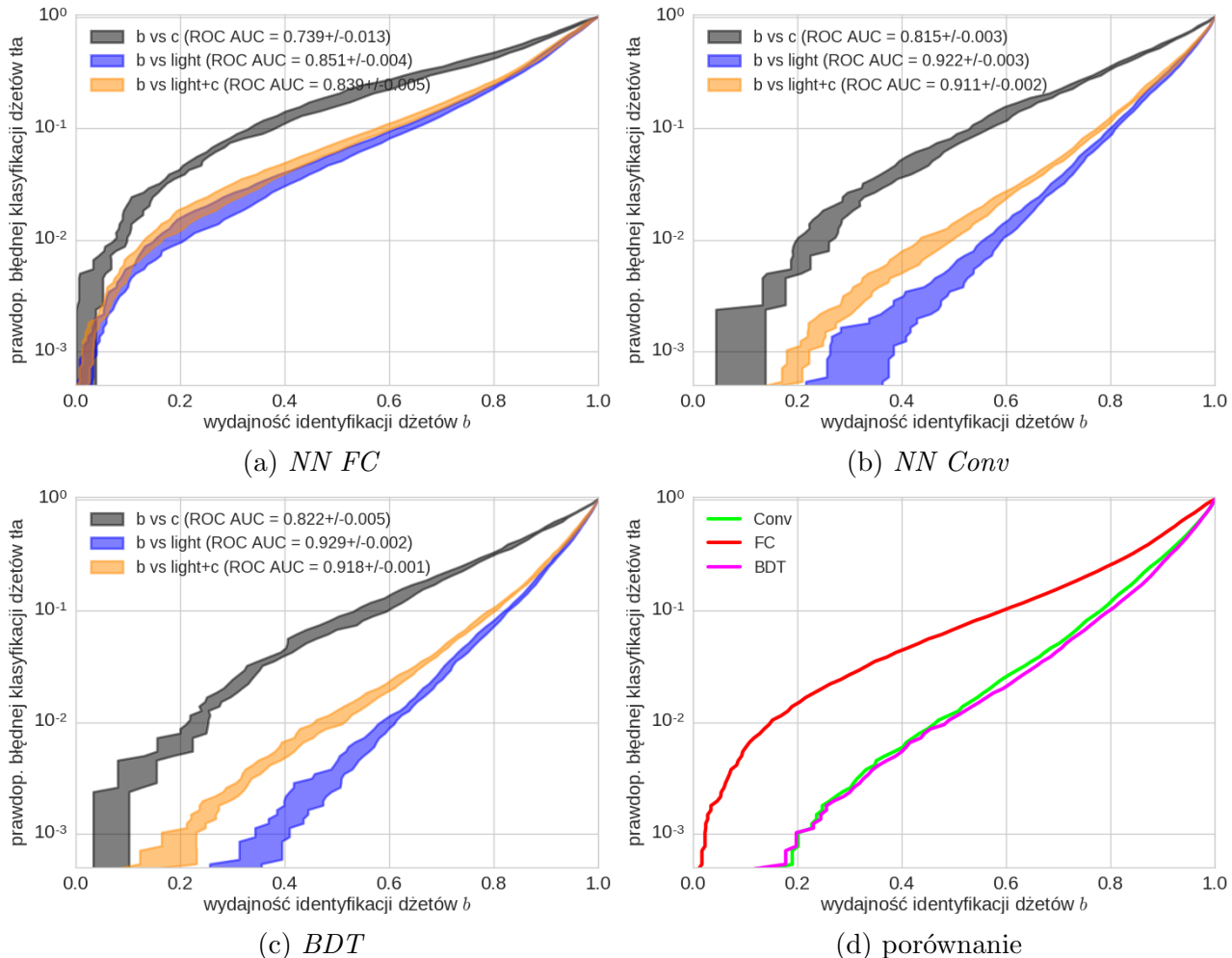
634 Na Rys. 14 przedstawiono rezultaty uzyskane przy trenowaniu na zbiorze danych *SV*. Uzyskano  
 635 bardzo zbliżone wyniki dla wszystkich trzech algorytmów, sieci konwolucyjne były nieznacznie  
 636 lepsze od pozostałych przy wydajnościach na identyfikację dżetów  $b$  poniżej 70%. Dla tych  
 637 samych prawdopodobieństw błędnej klasyfikacji tła uzyskiwały wydajności identyfikacji lepsze  
 638 o ok. 5%.



Rysunek 14: Zależności wydajności identyfikacji dżetów  $b$  od prawdopodobieństwa błędnej klasyfikacji dżetów tła dla poszczególnych algorytmów oraz ich porównanie. Algorytmy wytrenowane na zmiennych *SV*.

#### 639 4.2.2 Wyniki dla zmiennych związanych z częstками tworzącymi dżet

640 Na Rys. 15 przedstawiono rezultaty uzyskane przy trenowaniu na zbiorze danych *constit*. Wyniki  
 641 dla *BDT* oraz *Conv* są niemal identyczne, dla *BDT* trochę lepsze niż w przypadku zestawu da-  
 642nych *SV*, natomiast te uzyskane dla sieci neuronowych typu *FC* są znacznie gorsze. Stosunkowo  
 643 najmniejsze różnice pomiędzy zestawami danych *SV* i *constit* dla algorytmu *FC* otrzymano w  
 644 przypadku separacji dżetów *b* od *c*.

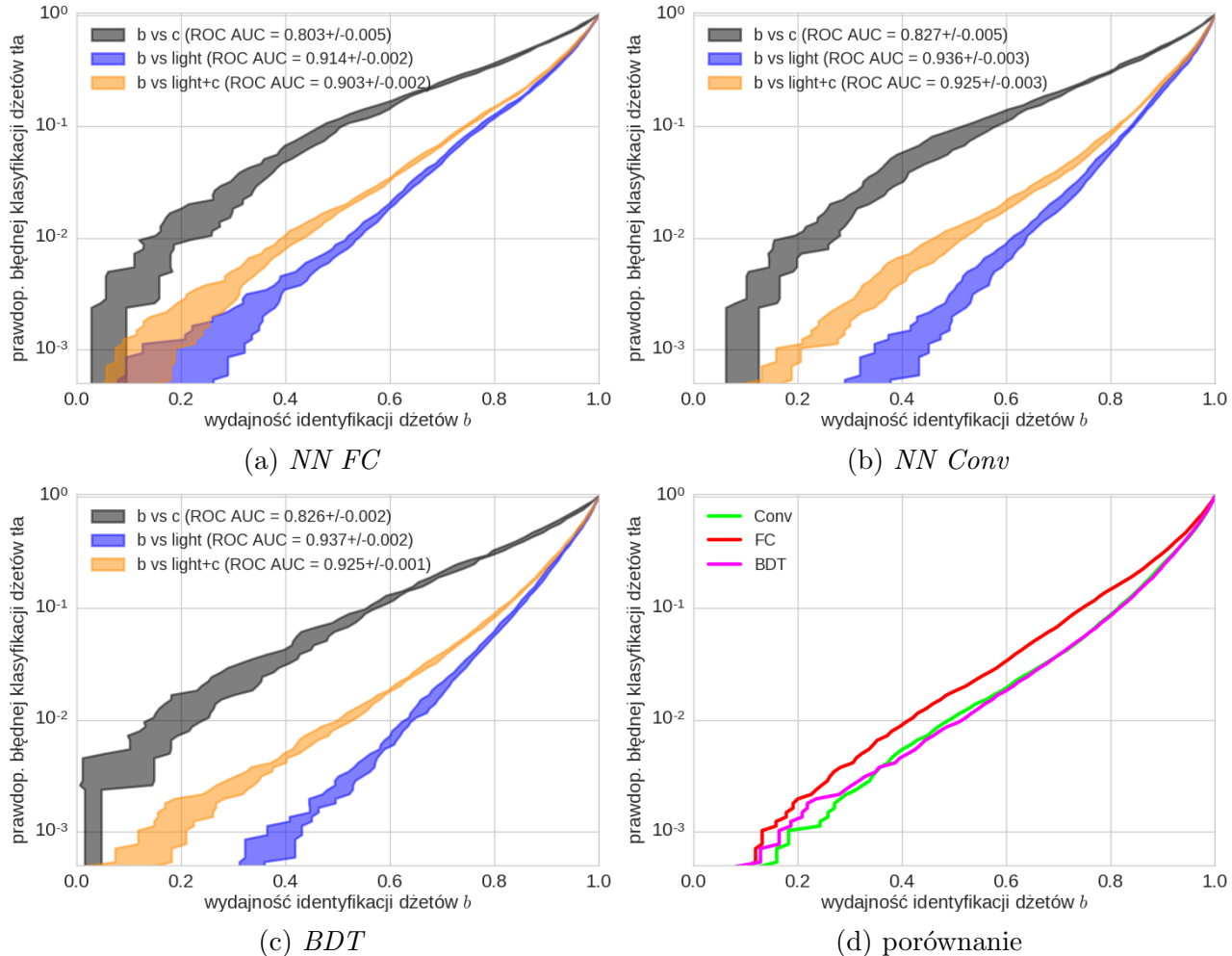


Rysunek 15: Zależności wydajności identyfikacji dżetów *b* od prawdopodobieństwa błędnej klasyfikacji dżetów tła dla poszczególnych algorytmów oraz ich porównanie. Algorytmy wytreno-  
 wane na zmiennych *constit*.

### 645 4.2.3 Wyniki dla wszystkich zmiennych

646 Na Rys. 16 przedstawiono rezultaty uzyskane przy trenowaniu na zbiorze danych *merged*. Po-  
 647 nownie krzywe *ROC* wzmacnianych drzew decyzyjnych i sieci konwolucyjnych prawie się nie  
 648 różnią, natomiast dla sieci w pełni połączonych krzywa jest przesunięta o ok. 10% w stronę  
 649 niższych wydajności.

650 W porównaniu do poprzednich zbiorów danych wszystkie algorytmy poprawiły swoje pre-  
 651 dykce, najmniej *FC*, którego zdolności separacyjne są prawie takie same jak w przypadku *SV*  
 652 (trochę lepsza separacja *b* od *c*).



Rysunek 16: Zależności wydajności identyfikacji dżetów *b* od prawdopodobieństwa błędnej klasyfikacji dżetów tła dla poszczególnych algorytmów oraz ich porównanie. Algorytmy wytrenowane na zmiennych *merged*.

#### 653 4.2.4 Podsumowanie

654 Uzyskane wartości  $ROC AUC$  oraz wydajności identyfikacji dżetów  $b$  dla trzech punktów pracy  
 655 zebrano w Tab. 1.

656 Tak jak było to widać na Rys. 13, wartości  $ROC AUC$  są najbardziej czułe na wartości  
 657 wydajności osiągane dla punktu pracy o najwyższych wydajnościach. Wynika to z faktu, że  
 658 pierwsze dwa punkty pracy leżą na samym początku krzywej  $ROC$  (dają niewielki wkład do  
 659 pola pod krzywą).

660 Algorytm wytrenowany na połączonym zbiorze danych daje trochę lepsze wyniki niż trenowa-  
 661 wany na zbiorach  $SV$  i  $constit$ , co jest oczywiście oczekiwane. Można było natomiast spodziewać  
 662 się większej poprawy, co pokazuje, że predykcje algorytmów trenowanych na  $SV$  oraz  $constit$   
 663 muszą być skorelowane (przy założeniu, że model trenowany na dwóch połączonych zbiorach  
 664 danych daje wyniki niegorsze niż trywialne połączenie dwóch modeli trenowanych na osobnych  
 665 zbiorach danych).

666 W każdym przypadku najgorsze wyniki uzyskano dla sieci w pełni połączonych. Z tabeli  
 667 wynika, że duże znaczenie mają zarówno użyty algorytm jak i zestaw danych. Podobne wyniki  
 668 uzyskiwane dla  $BDT$  oraz  $Conv$  pozwalają przypuszczać, że uzyskiwane przez nie poziom błędu  
 669 jest zbliżony do minimum osiągalnego przy tych zestawach danych (błędu *bayesowskiego*).

model	$ROC AUC$	wydajność identyfikacji dżetów $b$ [%]		
		dla prawd. błędnej klas. tła równej	0.1%	1%
$SV-FC$	$0.901 \pm 0.003$	$15 \pm 3$	$39 \pm 2$	$73.7 \pm 0.6$
$SV-Conv$	$0.912 \pm 0.001$	$18 \pm 3$	$45 \pm 2$	$76.4 \pm 0.8$
$SV-BDT$	$0.909 \pm 0.002$	$13 \pm 4$	$38 \pm 1$	$76.3 \pm 0.6$
$constit-FC$	$0.839 \pm 0.005$	$2 \pm 1$	$15 \pm 2$	$58.6 \pm 1.5$
$constit-Conv$	$0.911 \pm 0.002$	$20 \pm 2$	$46 \pm 3$	$77.8 \pm 0.6$
$constit-BDT$	$0.918 \pm 0.001$	$20 \pm 3$	$48 \pm 3$	$79.4 \pm 0.7$
$merged-FC$	$0.903 \pm 0.002$	$13 \pm 6$	$41 \pm 2$	$74.2 \pm 0.3$
$merged-Conv$	$0.925 \pm 0.003$	$18 \pm 2$	$48 \pm 3$	$81.3 \pm 0.4$
$merged-BDT$	$0.925 \pm 0.001$	$16 \pm 5$	$51 \pm 1$	$81.4 \pm 0.4$

Tablica 1: Tabela podsumowująca wyniki uzyskane przez poszczególne modele.

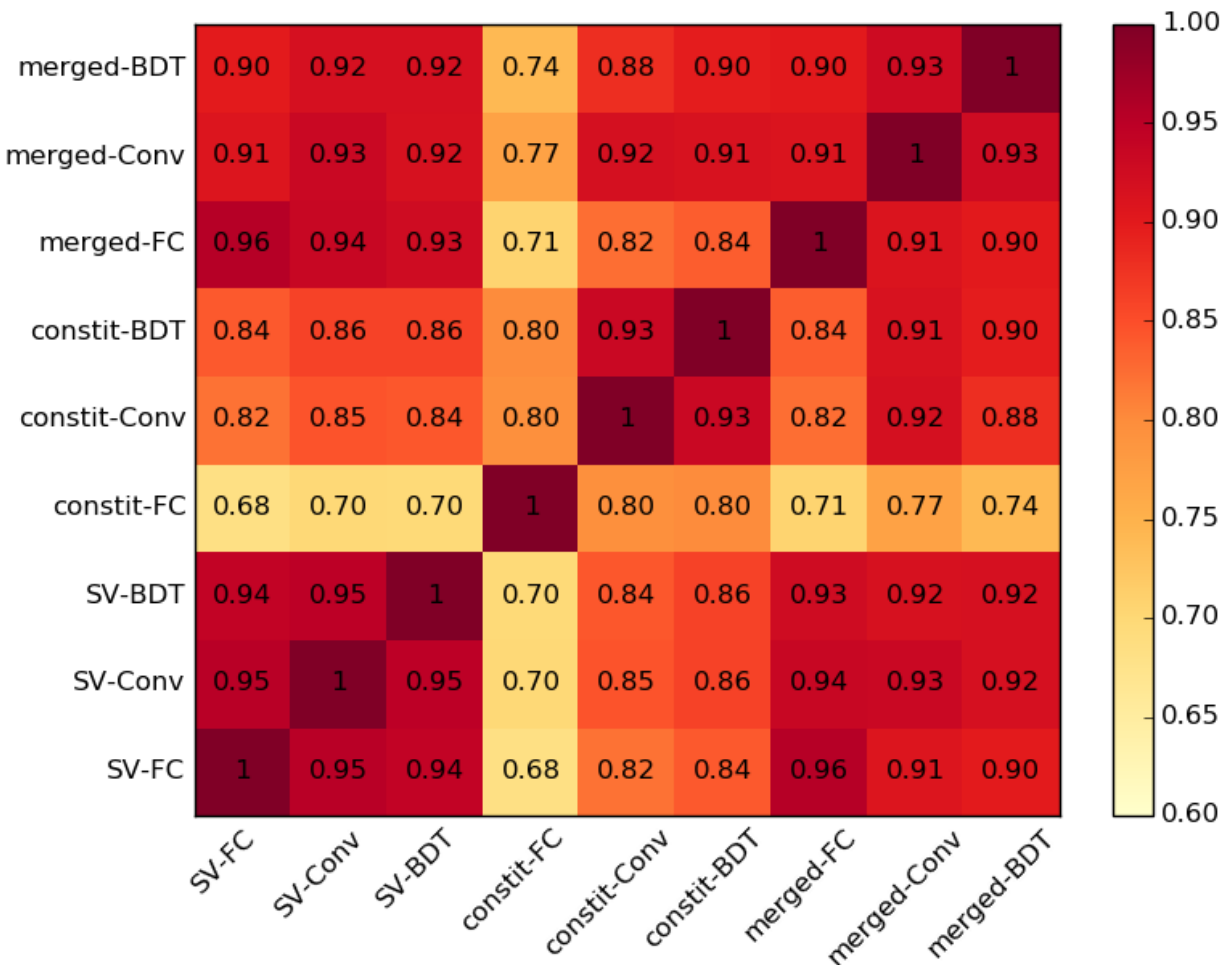
### 670 4.3 Korelacje predykcji modeli

671 Na Rys. 17 przedstawiono korelacje pomiędzy poszczególnymi modelami. Korelacje obliczano  
 672 pomiędzy wynikami zwracanym bezpośrednio przez algorytmy (liczba rzeczywista  $\in [0, 1]$ ), nie  
 673 na podstawie odpowiadających im klas ( $\{0, 1\}$ ).

674 Pierwszy wniosek płynący z wykresu korelacji to fakt, że wszystkie modele są ze sobą silnie  
 675 skorelowane. Tłumaczy to niewielki zysk płynący z połączenia zestawów danych *SV* i *constit*  
 676 co wspomniano w podrozdziale 4.2.4.

677 Najmniejszymi korelacjami z innymi wyróżnia się model *constit-FC*, który dawał zdecydowanie najsłabsze wyniki.  
 678

679 Widać wyraźny wzrost korelacji w przypadku modeli trenowanych na tych samych zbiorach  
 680 danych (szczególnie dla modeli trenowanych na zmiennych związanych z wtórnymi wierzchołkami). Modele trenowane na połączonym zbiorze danych są nieco silniej skorelowane z modelami  
 682 *SV-X* niż *constit-X*. Nie obserwuje się natomiast istotnie większych korelacji między modelami  
 683 wykorzystującymi ten sam algorytm.



Rysunek 17: Średnie współczynniki korelacji Pearsona pomiędzy predykcjami poszczególnych modeli. Odchylenia standardowe nie zostały pokazane na wykresie, ich wartości wynoszą 0.001 – 0.009.

## 684 4.4 Analiza istotności zmiennych w *BDT*

685 Jedną z zalet drzew decyzyjnych jest możliwość dokładnego prześledzenia procesu decyzyjnego  
686 poprzedzającego klasyfikację danego przypadku, co pozwala na lepsze zrozumienie działania  
687 modelu. Nie jest to możliwe dla klasyfikatora złożonego z dużej liczby drzew jak *BDT*, jednak  
688 nadal istnieją dosyć proste sposoby na zrozumienie, które cechy miały największy wpływ na  
689 predykcję.

690 Wykorzystano trzy miary istotności zmiennych zaimplementowane w bibliotece **XGBoost**:<sup>4</sup>

- 691 • *weight* informuje ile razy dana zmienna została wykorzystana w podziałach drzew.
- 692 • *total\_gain* jest sumą po spadkach funkcji straty uzyskiwanych dzięki podziałom wykorzy-  
693 stującym daną zmienną
- 694 • *total\_cover* to suma liczb przykładów trenujących, na które miały wpływ podziały wyko-  
695 rzystujące daną zmienną.

696 Zasadniczo najważniejszą miarą jest *total\_gain*, gdyż uwzględnia ona zarówno częstość wyko-  
697 rzystania danej zmiennej (*weight*) jak i średni zysk w postaci spadku funkcji straty uzyskiwany  
698 w poszczególnych podziałach. Zmienna binarna wykorzystana już w jednym podziale drzewa,  
699 nie może zostać użyta ponownie w żadnej gałęzi będącej kontynuacją danego podziału, stąd  
700 zmienne binarne zwykle osiągają mniejsze wartości miary *weight*. *total\_cover* jest z kolei zwią-  
701 zane z głębokościami drzewa na jakiej wykorzystywana była zmienna – pierwszy podział w  
702 danym drzewie wpływa zawsze na wszystkie przykłady trenujące, natomiast kolejne – na stop-  
703 niowo coraz mniejszy ułamek. Zatem niskie wartości *total\_cover* sugerują, że dana zmienna  
704 wykorzystywana była raczej na dużych głębokościach (na już mocno podzielonym drzewie).

705 W Tab. 2 przedstawiono wartości miar istotności zmiennych dla 15 najważniejszych cech  
706 (wg *total\_gain*) dla modeli *SV-BDT* oraz *constit-BDT*. Z kolei w Tab. 3 przedstawiono wartości  
707 tych miar pogrupowane wg wielkości fizycznych. Wartości każdej miary zostały unormowane  
708 do 100 (suma dla wszystkich elementów, nie tylko tych przedstawionych w tabelach jest równa  
709 100). System oznaczeń opisany jest w Dodatku B.

710 Zdecydowanie najważniejszymi zmiennymi okazały się:  $L_{xy}$  w przypadku wtórnych wierz-  
711 chołków oraz  $IP_D$  w przypadku częstek składowych dżetu, czyli zmienne, które zależą od czasu  
712 życia hadronów. Wyraźna jest także tendencja, że im wyższa pozycja elementu na liście, tym  
713 istotniejsze są jego właściwości (najistotniejsze są elementy nr 0).

714 O ile miary *total\_gain* i *total\_cover* są dosyć silnie skorelowane (co widać w obu tabelach)  
715 to *weight*, czyli częstość ich użycia wydaje się być niezależna i przyjmować zbliżone wartości  
716 dla wszystkich zmiennych. Okazuje się, że nie ma zmiennych, które byłyby wyraźnie rzadziej  
717 wykorzystywane od innych.

718 Pojawiają się także niespodziewane wyniki, przykładowo zmienna  $\sigma_{Lxy}$  pojawia się częściej  
719 niż  $L_{xy}$ , której niepewność opisuje, co jest zaskakujące tym bardziej, że  $\sigma_{Lxy}$  jest tylko jednym z  
720 trzech rodzajów zmiennych związanych z jakością wtórnego wierzchołka ( $\sigma_{Lxy}$ ,  $\sigma_{vertex}$  i  $\chi^2/Ndf$ ).

721 Wyniki uzyskane dla modelu *merged-BDT* (prawa strona Tab. 3) pokazują, że przy treно-  
722 waniu na pełnym zestawie danych zmienne ze zbioru *SV* są bardziej znaczące niż te ze zbioru  
723 *constit*, co jest zgodne z odnotowaną silniejszą korelacją modeli *merged-X* z modelami *SV-X*  
724 niż z modelami *constit-X*.

<sup>4</sup>nazwy miar pochodzą z wersji biblioteki dla języka Python, w wersji dla innych języków, np. R nazwy miar  
oraz ich znaczenie są różne

	<i>weight</i>	trening osobno <i>total_gain</i>	<i>total_cover</i>
$L_{xy}$ - SV0	2.76	13.37	4.68
$L_{xy}$ - SV2	1.88	9.83	3.80
$L_{xy}$ - SV3	1.66	7.68	3.51
$L_{xy}$ - SV1	1.34	6.79	2.84
$L_{xy}$ - SV5	0.77	3.79	1.78
$L_{xy}$ - SV4	1.03	2.79	2.06
$\chi^2/Ndf$ - SV0	3.30	2.30	2.56
$L_{xy}$ - SV6	0.96	2.21	1.75
$L_{xy}$ - SV8	0.96	2.14	1.81
$L_{xy}$ - SV7	0.89	1.99	1.59
$N_{SV}$	0.73	1.73	1.33
$\sigma_{vertex}$ - SV0	2.70	1.40	2.08
$\sigma_{Lxy}$ - SV9	0.91	1.36	1.38
$\chi^2/Ndf$ - SV3	1.91	1.33	2.14
$M_{inv}$ - SV9	0.77	1.31	1.24
$IP_D$ - C0	2.73	19.29	9.68
$IP_D$ - C1	2.76	15.06	8.74
$IP_D$ - C2	3.39	11.37	8.69
$IP_D$ - C3	2.84	6.56	6.16
$IP_Z$ - C0	3.01	5.26	5.86
$IP_D$ - C4	3.02	3.90	5.37
$IP_Z$ - C1	2.50	3.44	4.63
$IP_Z$ - C2	2.29	2.28	3.55
$IP_D$ - C5	1.95	1.67	3.15
$IP_Z$ - C3	2.14	1.50	2.65
$IP_D$ - C6	2.07	1.33	2.96
$IP_Z$ - C4	1.95	1.10	2.16
$p_T$ - C0	2.22	1.00	1.79
$p_T$ - C2	2.14	0.98	2.04
$\phi$ - C0	2.31	0.98	1.27

Tablica 2: Tabela zawierająca wartości miar istotności 15 najważniejszych (wg *total\_gain*) cech, osobno dla zmiennych związanych z wtórnymi wierzchołkami (górsza połowa) oraz z częstotliwościami składowymi (dolna połowa).

	trening osobno			trening razem		
	<i>weight</i>	<i>total_gain</i>	<i>total_cover</i>	<i>weight</i>	<i>total_gain</i>	<i>total_cover</i>
$L_{xy}$	17.2	54.5	28.9	6.9	21.1	12.9
$\sigma_{Lxy}$	19.4	13.1	18.1	7.2	8.5	7.9
$M_{inv}$	18.3	8.0	14.1	7.6	6.8	6.8
$\sigma_{vertex}$	17.0	8.2	14.2	6.6	6.0	6.9
$\chi^2/Ndf$	19.3	12.8	19.5	7.1	6.6	7.9
$IP_D$	22.4	60.6	47.5	11.3	12.3	16.1
$IP_Z$	18.3	16.1	23.3	9.9	7.7	9.3
$p_T$	14.0	7.1	14.1	7.0	5.7	6.2
$\phi$	23.2	8.7	8.2	12.4	8.4	8.2
$\eta$	21.7	7.3	6.4	13.0	8.8	8.9

Tablica 3: Tabela zawierająca wartości miar istotności cech, posumowane według rodzaju zmiennej (sumy po wszystkich wtórnych wierzchołkach / wszystkich cząstkach). Wartości w lewej części odpowiadają modelom *SV-BDT* i *constit-BDT* natomiast z prawej – *merged-BDT*.

## 725 4.5 Analiza wpływu zmiennych na predykcje modeli

726 Dalszą analizę wpływu poszczególnych zmiennych przeprowadzono przy użyciu wykresów zależności cząstkowych (ang. *partial dependence plots*). Ze względu na wysoki koszt obliczeniowy tej metody, przedstawione wyniki wyjątkowo nie są uśrednieniem kilka powtórzeń całej procedury.

727 Metoda wykresów zależności cząstkowych to metoda polegająca na sprawdzeniu zachowania się predykcji już wytrenowanego modelu na skutek zmiany wartości wybranej zmiennej. W tym celu przeprowadzane są predykcje na normalnym zbiorze danych, ze zmienioną jedną kolumną, zawierającą wartości analizowanej zmiennej. Wszystkie wartości w tej kolumnie ustawiane są na tę samą wartość, która jest stopniowo zmieniana od minimum do maksimum wartości przyjmowanych przez daną zmienną, za każdym razem przeprowadzana jest predykcja. Współrzędnymi punktów na wykresie zależności cząstkowej są: kolejne wartości ustawiane w analizowanej kolumnie (oś pozioma) i średnia wartość predykcji modelu (oś pionowa). Im wyższe wartości tej drugiej tym większa część przykładów zostały zaliczona przez algorytm do klasy pozytywnej (uznana za dżet  $b$ ).

728 Taka analiza służy kilku celom. Po pierwsze, pozwala na weryfikację, tego czy modele działają zgodnie z naszą wiedzą, w przypadkach gdy wiadomo jak powinien zachować się algorytm. Odwrotna sytuacja (brak wiedzy na temat pożądanego zachowania) pozwala na wyciągnięcie wniosków na podstawie sposobu działania algorytmu co wzbogaca intuicję i zrozumienie analizowanych danych. Po trzecie, jest to jeden ze sposobów na zrozumienie działania algorytmów, w przypadku których w przeciwieństwie do drzew decyzyjnych czy regresji liniowej nie istnieją proste metryki pozwalające na oszacowanie wpływu poszczególnych zmiennych na predykcję. W przypadku sieci neuronowych często jest to dużym wyzwaniem.

729 Na Rys. 18 i 19 przedstawiono wykresy zależności cząstkowych dla wybranych zmiennych. Przy wyborze zmiennych posługiwano się wartościami miar istotności cech z sekcji 4.4, kierowano się także wartością ilustracyjną dla omawianych zagadnień. Skala osi pionowej jest inna dla każdej zmiennej, im większy zakres, tym większy bezpośredni wpływ tej zmiennej na predykcje, tym istotniejsza jest ta zmienna. Poniżej każdego wykresu przedstawiono znormalizowane rozkłady prawdopodobieństwa wartości analizowanej zmiennej dla dżetów  $b$  oraz dżetów tła. Warto zaznaczyć na wstępie, że najbardziej istotne są obszary wykresów w okolicach maksimów rozkładów prawdopodobieństwa zmiennych.

730 Wykresy na Rys. 18 a) i b) oraz 19 a), b) i c) pokazują, że znane podstawowe cechy dżetów  $b$  pozwalające odróżnić je od tła, tj. duże wartości  $L_{xy}$  wtórych wierzchołków oraz duże wartości bezwzględne parametrów zderzenia cząstek ( $IP_D$ ,  $IP_Z$ ) są intensywnie wykorzystywane przez wszystkie algorytmy. Także wartości przy jakich najsilniej zmieniają się predykcje modeli znajdują odzwierciedlenie w rozkładach poniżej.

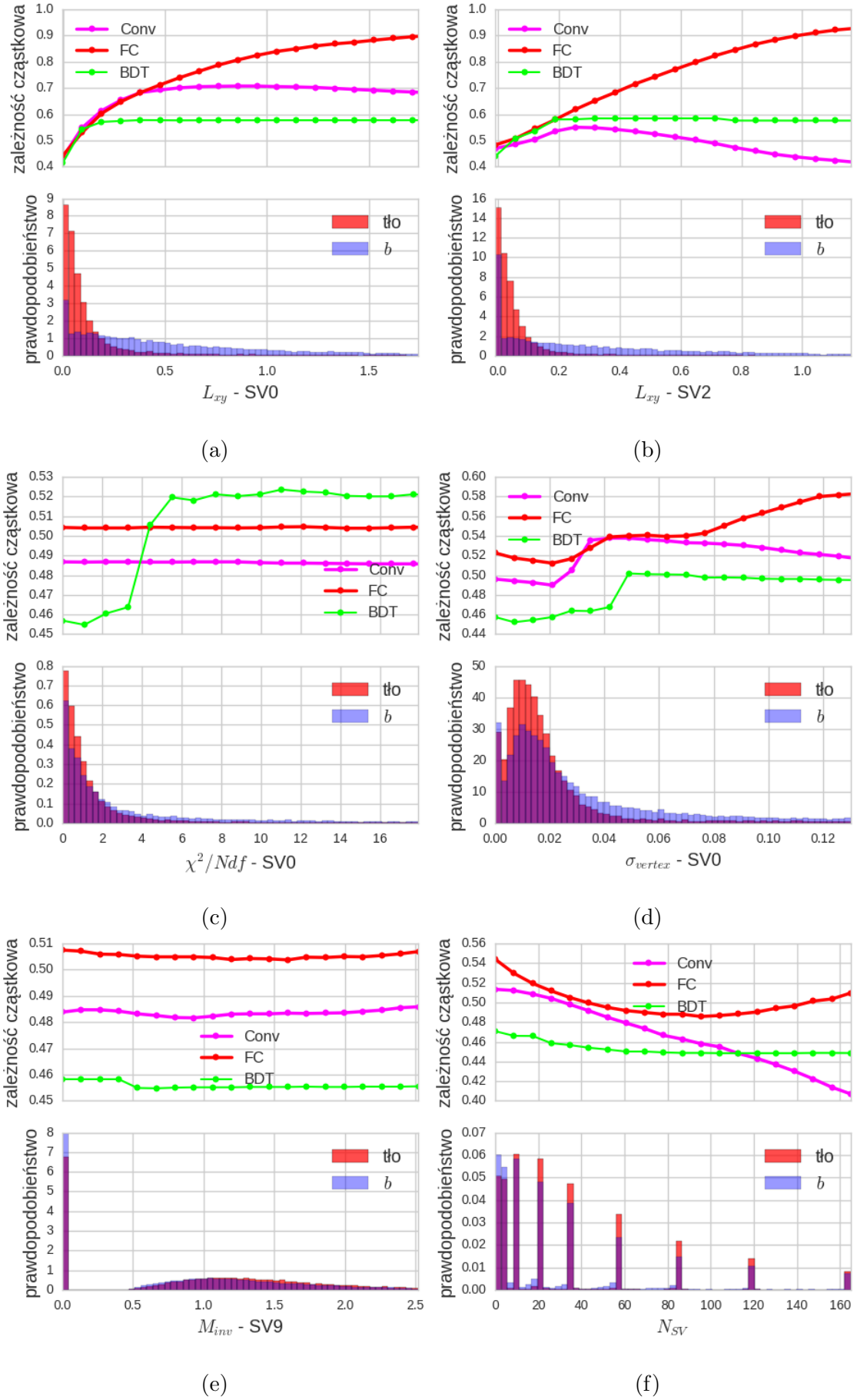
731 Analiza tych pięciu wykresów pozwala na zaobserwowanie ciekawych różnic między algorytmami. Pierwsza z nich: zależności cząstkowe wydają się mieć mniejszą amplitudę w przypadku  $BDT$  niż w przypadku sieci neuronowych. Może wynikać to z kształtu funkcji – w przypadku  $BDT$  jest to złożenie kilku funkcji schodkowych, podczas gdy sieci neuronowe dają bardziej gładkie zależności. Efektem tego jest inne zachowanie w obszarze ekstrapolacji (obszary gdzie rozkłady prawdopodobieństwa mają niską gęstość). Drzewa decyzyjne nie mają potrzeby dalszych podziałów np. w zakresie  $L_{xy} - SV0 > 0.3$  lub  $|IP_D| > 5$  dlatego ich predykcje są w tych zakresach niemal stałe. Z kolei w przypadku sieci neuronowych, z powodu braku wystarczającej liczby przykładów o takich wartościach zmiennych, wykres jest w przybliżeniu ekstrapolacją zachowania z zagościzonego zakresu, co jest bardzo wyraźnie w przypadku sieci w pełni połączonych.

732 Druga obserwacja to to asymetria w predykcji  $BDT$  na wykresie  $IP_Z - C1$ . Pomimo wyjątkowo symetrycznego rozłożenia wartości tej zmiennej wokół zera, predykcje  $BDT$  są wyraźnie

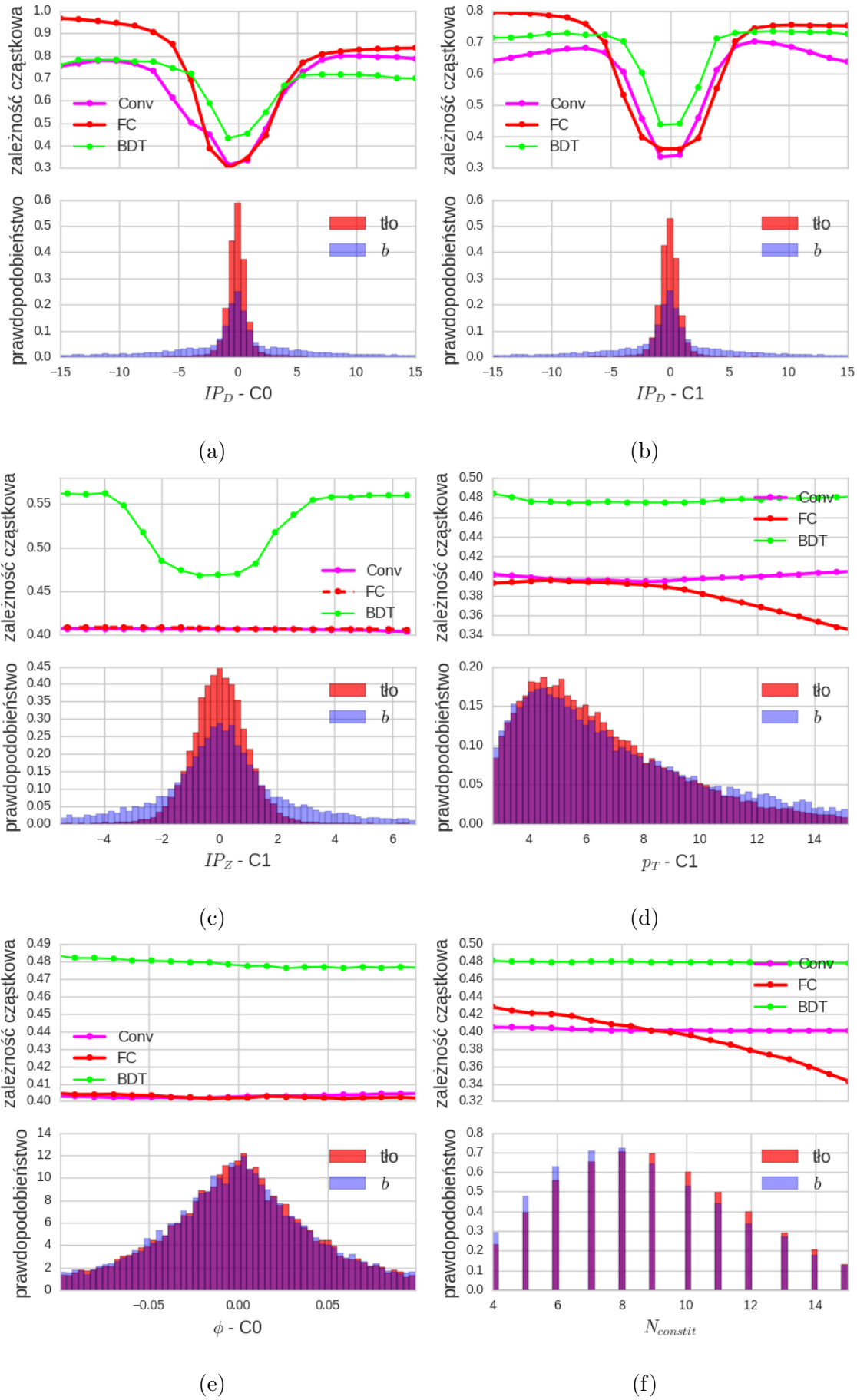
773 przesunięte, z minimum zlokalizowanym wokół wartości -1. Przyczyną takiego zachowania może  
774 być specyficzny sposób trenowania drzew decyzyjnych, które w przypadku takiego rozkładu nie  
775 mogą podzielić przestrzeń fazowej na 3 części w jednym kroku, co byłoby najbardziej korzystne,  
776 ale zmuszone są do dwóch kolejnych podziałów, np. wzduż wartości -2 i 2, z czego pierwszy  
777 podział musi niejako złamać symetrię rozkładu. Konieczność wykonania dwóch podziałów, z  
778 których pierwszy nie zapewnia dobrej separacji klas może być przyczyną, dla której  $L_{xy}$  było  
779 chętniej wykorzystywane przez model *merged-BDT* (Tab. 3) – w przypadku tej zmiennej dobrą  
780 separację klas daje już pierwszy podział.

781 Wykresy takie jak te na Rys. 18 c) i f) lub 19 c), d) i f) pokazują, że predykcje algorytmów  
782 mogą wykazywać nie tylko ilościowe, ale także jakościowe różnice w reakcji na wariacje wartości  
783 jednej zmiennej.

784 Wreszcie wykresy przedstawione na Rys. 18 e) oraz Rys. 19 e) pokazują, że nawet w  
785 przypadku zmiennych intensywnie wykorzystywane przy podziałach drzewa (o czym świadczy  
786 Tab. 2) zmiana wyłącznie ich wartości ma często znikomy wpływ na predykcje całego modelu.  
787 Są to zmienne, których rozkłady dla sygnału i tła prawie się nie różnią. Ich wpływ na pre-  
788 dykcje algorytmu ujawnia się dopiero w kombinacji z innymi zmiennymi. Wykorzystanie tych  
789 zmiennych jest dużo trudniejsze dla ludzi i między innymi na tym polega przewaga podejścia  
790 analizy wielowymiarowej i uczenia maszynowego. Wykresy te sygnalizują jednocześnie ograni-  
791 czenie metody wykresów zależności cząstkowych, która jak każda metoda wizualna nie radzi  
792 sobie z przestrzeniami zmiennych o większej niż 3-4 liczbie wymiarów.



Rysunek 18: Zależności cząstkowe dla wybranych cech przedstawione dla modeli: *SV-Conv*, *SV-FC* i *SV-BDT*.



Rysunek 19: Zależności cząstkowe dla wybranych cech przedstawione dla modeli: *constit-Conv*, *constit-FC* i *constit-BDT*.

## 793 Bibliografia

- 794 [1] Donald H. Perkins. "Oddziaływanie międzykarkowe i chromodynamika kwantowa". W:  
795 *Wstęp do Fizyki Wysokich Energii*. 2 wydr. PWN, 2005, 171–193.
- 796 [2] David J. Gross i Frank Wilczek. "Ultraviolet Behavior of Nonabelian Gauge Theories".  
797 W: *Phys. Rev. Lett.* 30 (1973). [,271(1973)], s. 1343–1346. DOI: 10.1103/PhysRevLett.  
798 30.1343.
- 799 [3] H. David Politzer. "Reliable Perturbative Results for Strong Interactions?" W: *Phys. Rev.*  
800 *Lett.* 30 (1973). [,274(1973)], s. 1346–1349. DOI: 10.1103/PhysRevLett.30.1346.
- 801 [4] C. Patrignani i in. "Review of Particle Physics". W: *Chin. Phys.* C40.10 (2016), s. 100001.  
802 DOI: 10.1088/1674-1137/40/10/100001.
- 803 [5] John C. Collins i M. J. Perry. "Superdense Matter: Neutrons Or Asymptotically Free  
804 Quarks?" W: *Phys. Rev. Lett.* 34 (1975), s. 1353. DOI: 10.1103/PhysRevLett.34.1353.
- 805 [6] N. Cabibbo i G. Parisi. "Exponential Hadronic Spectrum and Quark Liberation". W:  
806 *Phys. Lett.* 59B (1975), s. 67–69. DOI: 10.1016/0370-2693(75)90158-6.
- 807 [7] D. Boyanovsky, H. J. de Vega i D. J. Schwarz. "Phase transitions in the early and the  
808 present universe". W: *Ann. Rev. Nucl. Part. Sci.* 56 (2006), s. 441–500. DOI: 10.1146/  
809 annurev.nucl.56.080805.140539. arXiv: hep-ph/0602002 [hep-ph].
- 810 [8] Mark G. Alford i Kai Schwenzer. "What the Timing of Millisecond Pulsars Can Teach  
811 us about Their Interior". W: *Phys. Rev. Lett.* 113.25 (2014), s. 251102. DOI: 10.1103/  
812 PhysRevLett.113.251102. arXiv: 1310.3524 [astro-ph.HE].
- 813 [9] Vardan Khachatryan i in. "Evidence for collectivity in pp collisions at the LHC". W:  
814 *Phys. Lett.* B765 (2017), s. 193–220. DOI: 10.1016/j.physletb.2016.12.009. arXiv:  
815 1606.06198 [nucl-ex].
- 816 [10] Jaroslav Adam i in. "Enhanced production of multi-strange hadrons in high-multiplicity  
817 proton-proton collisions". W: *Nature Phys.* 13 (2017), s. 535–539. DOI: 10.1038/nphys4111.  
818 arXiv: 1606.07424 [nucl-ex].
- 819 [11] Matteo Cacciari, Gavin P. Salam i Gregory Soyez. "The Anti-k(t) jet clustering algori-  
820 thm". W: *JHEP* 04 (2008), s. 063. DOI: 10.1088/1126-6708/2008/04/063. arXiv:  
821 0802.1189 [hep-ph].
- 822 [12] Vardan Khachatryan i in. "Charged-particle nuclear modification factors in PbPb and  
823 pPb collisions at  $\sqrt{s_{NN}} = 5.02$  TeV". W: *JHEP* 04 (2017), s. 039. DOI: 10.1007/  
824 JHEP04(2017)039. arXiv: 1611.01664 [nucl-ex].
- 825 [13] Betty Abelev i in. "Centrality Dependence of Charged Particle Production at Large Trans-  
826 verse Momentum in Pb–Pb Collisions at  $\sqrt{s_{NN}} = 2.76$  TeV". W: *Phys. Lett.* B720 (2013),  
827 s. 52–62. DOI: 10.1016/j.physletb.2013.01.051. arXiv: 1208.2711 [hep-ex].
- 828 [14] Carlos A. Salgado i Urs Achim Wiedemann. "Calculating quenching weights". W: *Phys.*  
829 *Rev.* D68 (2003), s. 014008. DOI: 10.1103/PhysRevD.68.014008. arXiv: hep-ph/0302184  
830 [hep-ph].
- 831 [15] Yuri L. Dokshitzer i D. E. Kharzeev. "Heavy quark colorimetry of QCD matter". W:  
832 *Phys. Lett.* B519 (2001), s. 199–206. DOI: 10.1016/S0370-2693(01)01130-3. arXiv:  
833 hep-ph/0106202 [hep-ph].
- 834 [16] Georges Aad i in. "Performance of *b*-Jet Identification in the ATLAS Experiment". W:  
835 *JINST* 11.04 (2016), P04008. DOI: 10.1088/1748-0221/11/04/P04008. arXiv: 1512.  
836 01094 [hep-ex].

- 837 [17] M. Aaboud i in. “Measurements of b-jet tagging efficiency with the ATLAS detector using  
 838  $t\bar{t}$  events at  $\sqrt{s} = 13$  TeV”. W: *JHEP* 08 (2018), s. 089. DOI: 10.1007/JHEP08(2018)089.  
 839 arXiv: 1805.01845 [hep-ex].
- 840 [18] Serguei Chatrchyan i in. “Identification of b-quark jets with the CMS experiment”. W:  
 841 *JINST* 8 (2013), P04013. DOI: 10.1088/1748-0221/8/04/P04013. arXiv: 1211.4462  
 842 [hep-ex].
- 843 [19] A. M. Sirunyan i in. “Identification of heavy-flavour jets with the CMS detector in pp  
 844 collisions at 13 TeV”. W: *JINST* 13.05 (2018), P05011. DOI: 10.1088/1748-0221/13/  
 845 05/P05011. arXiv: 1712.07158 [physics.ins-det].
- 846 [20] Linus Feldkamp. “Study of b-jet tagging performance in ALICE”. W: *J. Phys. Conf. Ser.*  
 847 509 (2014), s. 012061. DOI: 10.1088/1742-6596/509/1/012061. arXiv: 1310.2817  
 848 [hep-ex].
- 849 [21] Rüdiger Haake. “Machine and deep learning techniques in heavy-ion collisions with ALICE”.  
 850 W: *Proceedings, 2017 European Physical Society Conference on High Energy Physics*  
 851 (*EPS-HEP 2017*): *Venice, Italy, July 5-12, 2017*. T. EPS-HEP2017. 2017. DOI: 10.22323/  
 852 1.314.0498. arXiv: 1709.08497 [physics.data-an]. URL: <https://pos.sissa.it/314/498/pdf>.
- 854 [22] Roel Aaij i in. “Identification of beauty and charm quark jets at LHCb”. W: *JINST* 10.06  
 855 (2015), P06013. DOI: 10.1088/1748-0221/10/06/P06013. arXiv: 1504.07670 [hep-ex].
- 856 [23] K. Aamodt i in. “The ALICE experiment at the CERN LHC”. W: *JINST* 3 (2008),  
 857 S08002. DOI: 10.1088/1748-0221/3/08/S08002.
- 858 [24] Betty Bezverkhny Abelev i in. “Performance of the ALICE Experiment at the CERN  
 859 LHC”. W: *Int. J. Mod. Phys.* A29 (2014), s. 1430044. DOI: 10.1142/S0217751X14300440.  
 860 arXiv: 1402.4476 [nucl-ex].
- 861 [25] Wikimedia Commons. *Schematics of the ALICE subdetectors*. 2014. URL: [https://commons.wikimedia.org/wiki/File:2012-Aug-02-ALICE\\_3D\\_v0\\_with\\_Text\\_\(1\)\\_2.jpg](https://commons.wikimedia.org/wiki/File:2012-Aug-02-ALICE_3D_v0_with_Text_(1)_2.jpg).
- 864 [26] Sotiris B Kotsiantis, I Zaharakis i P Pintelas. “Supervised machine learning: A review  
 865 of classification techniques”. W: *Emerging artificial intelligence applications in computer*  
 866 *engineering* 160 (2007), s. 3–24.
- 867 [27] Marcin Wolter. “Metody analizy wielu zmiennych w fizyce wysokich energii”. Prac. dokt.  
 868 IFJ PAN, 2012.
- 869 [28] Leo Breiman. “Bagging predictors”. W: *Machine learning* 24.2 (1996), s. 123–140.
- 870 [29] Yoav Freund i Robert E Schapire. “A decision-theoretic generalization of on-line learning  
 871 and an application to boosting”. W: *Journal of computer and system sciences* 55.1 (1997),  
 872 s. 119–139.
- 873 [30] Tianqi Chen i Carlos Guestrin. “XGBoost: A Scalable Tree Boosting System”. W: *Proce-*  
 874 *edings of the 22nd ACM SIGKDD International Conference on Knowledge Discovery and*  
 875 *Data Mining*. KDD ’16. San Francisco, California, USA: ACM, 2016, s. 785–794. ISBN:  
 876 978-1-4503-4232-2. DOI: 10.1145/2939672.2939785. URL: <http://doi.acm.org/10.1145/2939672.2939785>.
- 878 [31] James Bergstra i Yoshua Bengio. “Random Search for Hyper-parameter Optimization”.  
 879 W: *J. Mach. Learn. Res.* 13 (lut. 2012), s. 281–305. ISSN: 1532-4435. URL: <http://dl.acm.org/citation.cfm?id=2188385.2188395>.

- 881 [32] Sandhya Samarasinghe. *Neural networks for applied sciences and engineering: from fun-*  
 882 *damentals to complex pattern recognition*. Auerbach publications, 2016.
- 883 [33] Ian Goodfellow, Yoshua Bengio i Aaron Courville. *Deep Learning*. <http://www.deeplearningbook.org>. MIT Press, 2016.
- 885 [34] Kurt Hornik. “Approximation capabilities of multilayer feedforward networks”. W: *Neural*  
 886 *Networks* 4.2 (1991), s. 251 –257. ISSN: 0893-6080. DOI: [https://doi.org/10.1016/0893-6080\(91\)90009-T](https://doi.org/10.1016/0893-6080(91)90009-T). URL: <http://www.sciencedirect.com/science/article/pii/089360809190009T>.
- 889 [35] Alex Krizhevsky, Ilya Sutskever i Geoffrey E Hinton. “Imagenet classification with deep  
 890 convolutional neural networks”. W: *Advances in neural information processing systems*.  
 891 2012, s. 1097–1105.
- 892 [36] Petar Veličković. *Deep learning for complete beginners: convolutional neural networks with*  
 893 *keras*. 2017. URL: <https://cambridgespark.com/content/tutorials/convolutional-neural-networks-with-keras/index.html> (term. wiz. 15.07.2018).
- 895 [37] Andrew Ng. *Convolutional Neural Networks*. 2017. URL: <https://www.coursera.org/learn/convolutional-neural-networks> (term. wiz. 15.07.2018).
- 897 [38] MathWorks. *Convolutional Neural Network*. URL: <https://www.mathworks.com/solutions/deep-learning/convolutional-neural-network.html> (term. wiz. 15.07.2018).
- 899 [39] Kendrick Tan. *Capsule Networks Explained*. 2017. URL: [https://kndrck.co/posts/capsule\\_networks\\_explained/](https://kndrck.co/posts/capsule_networks_explained/) (term. wiz. 15.07.2018).
- 901 [40] François Chollet i in. *Keras*. <https://keras.io>. 2015.
- 902 [41] Martín Abadi i in. *TensorFlow: Large-Scale Machine Learning on Heterogeneous Systems*.  
 903 Software available from tensorflow.org. 2015. URL: <https://www.tensorflow.org/>.
- 904 [42] Timothy Dozat. *Incorporating Nesterov Momentum into Adam*. 2015. URL: {[http://cs229.stanford.edu/proj2015/054\\_report.pdf](http://cs229.stanford.edu/proj2015/054_report.pdf)}.
- 906 [43] Diederik P. Kingma i Jimmy Ba. “Adam: A Method for Stochastic Optimization”. W:  
 907 *CoRR* abs/1412.6980 (2014). arXiv: 1412.6980. URL: <http://arxiv.org/abs/1412.6980>.
- 909 [44] Nitish Srivastava i in. “Dropout: A Simple Way to Prevent Neural Networks from Over-  
 910 fitting”. W: *J. Mach. Learn. Res.* 15.1 (sty. 2014), s. 1929–1958. ISSN: 1532-4435. URL:  
 911 <http://dl.acm.org/citation.cfm?id=2627435.2670313>.
- 912 [45] Torbjorn Sjostrand, Stephen Mrenna i Peter Z. Skands. “A Brief Introduction to PYTHIA  
 913 8.1”. W: *Comput. Phys. Commun.* 178 (2008), s. 852–867. DOI: 10.1016/j.cpc.2008.01.036. arXiv: 0710.3820 [hep-ph].
- 915 [46] Peter Skands, Stefano Carrazza i Juan Rojo. “Tuning PYTHIA 8.1: the Monash 2013  
 916 Tune”. W: *Eur. Phys. J. C*74.8 (2014), s. 3024. DOI: 10.1140/epjc/s10052-014-3024-y. arXiv: 1404.5630 [hep-ph].
- 918 [47] René Brun i in. “GEANT Detector Description and Simulation Tool”. W: (1994). DOI:  
 919 10.17181/CERN.MUHF.DMJ1.
- 920 [48] Matteo Cacciari, Gavin P. Salam i Gregory Soyez. “FastJet User Manual”. W: *Eur. Phys. J.* C72 (2012), s. 1896. DOI: 10.1140/epjc/s10052-012-1896-2. arXiv: 1111.6097 [hep-ph].
- 923 [49] D0 Collaboration. *Observation of Single Top Quark Production*. 2009. URL: [https://www-d0.fnal.gov/Run2Physics/top/singletop\\_observation/singletop\\_observation\\_updated.html](https://www-d0.fnal.gov/Run2Physics/top/singletop_observation/singletop_observation_updated.html) (term. wiz. 15.07.2018).

- 926 [50] Matteo Cacciari i Gavin P. Salam. “Pileup subtraction using jet areas”. W: *Phys. Lett.*  
927 B659 (2008), s. 119–126. DOI: 10.1016/j.physletb.2007.09.077. arXiv: 0707.1378  
928 [[hep-ph](#)].
- 929 [51] Andrew P Bradley. “The use of the area under the ROC curve in the evaluation of  
930 machine learning algorithms”. W: *Pattern recognition* 30.7 (1997), s. 1145–1159.

## 931 Dodatek A Metryki

932 W poniżej tabeli zebrano stosowane najczęściej miary jakości klasyfikatorów. We wzorach defi-  
 933 niujących metryki wykorzystano następujące wielkości:

934 TP (ang. *true positives*) – liczba poprawnie zaklasyfikowanych przypadków klasy pozytywnej

935 TN (ang. *true negatives*) – liczba poprawnie zaklasyfikowanych przypadków klasy negatywnej

936 FP (ang. *false positives*) – liczba błędnie zaklasyfikowanych przypadków klasy negatywnej

937 FN (ang. *false negatives*) – liczba błędnie zaklasyfikowanych przypadków klasy pozytywnej

938

nazwa metryki	nazwa angielska	wzór
dokładność	accuracy	$(TP+TN) / (TP+TN+FP+FN)$
precyzja	precision	$TP / (TP+FP)$
czułość, wydajność id. sygnału	recall, sensitivity, TP Rate	$TP / (TP+FN)$
swoistość	specificity, TN Rate	$TN / (TN+FP)$
F1	F1	$2 \frac{precision \cdot recall}{precision + recall}$
prawd. błędnej klas. tła	mistagging rate, FP Rate	$FP / (FP+TN)$

Tablica A1: Tabela zawierająca nazwy i definicje popularnych metryk.

939 Podanie tylko jednej metryki jest zwykle niewystarczające i stosuje się pary metryk, np.  
 940 precyzja - czułość. Jeśli predykcja klasyfikatora ma charakter ciągły, to poprzez zmienianie  
 941 wartości progowej otrzymuje się różne punkty pracy, scharakteryzowane przez wartości obu  
 942 metryk. Kolejne punkty pracy wykreślone np. na wykresie  $TPR(FPR)$  dają krzywą nazywaną  
 943 krzywą ROC. Wykres ten w przypadku klasyfikatora losowego jest prostą łączącą punkty o  
 944 współrzędnych  $(0,0)$  i  $(1,1)$ . Im lepszy klasyfikator tym bardziej wykres wygięty jest w stronę  
 945 punktu  $(0,1)$ . Pole pod tą krzywą (ang. *ROC Area Under Curve – ROC AUC*) jest kolejną  
 946 metryką, bardzo często wykorzystywaną w praktyce, gdyż łączy w sobie wszystkie możliwe  
 947 punkty pracy, jest także odporne na niezrównoważenie klas. Pole pod krzywą *ROC* przyjmuje  
 948 wartość 0.5 dla klasyfikatora losowego oraz 1 dla idealnego.

949 W literaturze dot. klasyfikacji dżetów wyniki zwykle przedstawia się z użyciem dwóch po-  
 950 wszechnie znanych metryk, ale o zmienionych nazwach: *True Positive Rate*, nazywanej *b jet*  
 951 *tagging efficiency* – wydajności na identyfikację dżetów *b* oraz *False Positive Rate*, nazywanym  
 952 *mistagging rate* – prawdopodobieństwa błędnej klasyfikacji dżetów tła jako dżety *b*.

## 953 Dodatek B Skróty i oznaczenia

954 W pracy używane są następujące skróty i oznaczenia:

- 955 • algorytmy:

956  $FC$  – sieci neuronowe w pełni połączone,

957  $Conv$  – sieci neuronowe konwolucyjne,

958  $BDT$  - wzmacniane drzewa decyzyjne

- 959 • zbiory danych:

960  $SV$  – zestaw zawierający tylko zmienne związane z wtórnymi wierzchołkami,

961  $constit$  – zestaw zawierający tylko zmienne związane z częstками tworzącymi dżet,

962  $merged$  – zestaw zawierający wszystkie zmienne (tj.  $SV + Constit +$  zmienne charaktery-  
963 zujące dżet jako całość)

- 964 • modele (zestaw danych + algorytm): nazywane są wg wzoru:

965 (oznaczenie\_zbioru\_danych)-(oznaczenie\_algorytmu),

966 np.  $SV\text{-}Conv$  oznacza konwolucyjną sieć neuronową wytrenowaną na zmiennych zwi-  
967 zanych z wtórnymi wierzchołkami a  $merged\text{-}BDT$  - wzmacniane drzewa decyzyjne, do  
968 treningu których użyte zostały wszystkie zmienne. Zapis  $merged\text{-}X$  stanowi zbiorcze ozna-  
969 czenie modeli  $merged\text{-}SV$ ,  $merged\text{-}Conv$  i  $merged\text{-}BDT$ .

- 970 • poszczególne zmienne (kolumny w zbiorze danych) oznaczane są według wzoru:

971 (nazwa\_zmiennej) – (numer\_obiektu),

972 np.  $\sigma_{L_{xy}}$  –  $SV2$  oznacza niepewność wyznaczenia  $L_{xy}$  dla wtórnego wierzchołka nr 2, a  
973  $IP_Z\text{-}C5$  – parametr zderzenia wzdłuż osi wiązki cząstki nr 5 – numery na posortowanych  
974 listach (Rozdz. 3, gdzie znajdują się także opisy wielkości fizycznych).